

8 de mayo de 2026
Archivo No. 01204123.21-13

Sr. Baitong Chen
Distrito de Gestión de la Calidad del Aire de la Costa Sur
21865 Copley Drive
Diamond Bar, California 91765

Asunto: Determinación del Comité de Reacción Mensual sobre los Límites del Área de Reacción del Vertedero de Chiquita Canyon - Castaic, California

Estimado Sr. Chen:

Conforme a las Condiciones No. 9a y 9b de la Orden de Depuración Estipulada Modificada (SOFA) en relación al Vertedero de Chiquita Canyon (el Vertedero o el Centro) (Caso No. 6177-4), el Comité de Reacción revisó los nuevos datos adquiridos aplicables registrados durante el mes de abril de 2026, consideró las revisiones del alcance estimado de las condiciones del vertedero de temperaturas elevadas (ETLF) en el Centro de referencia (denominados límites del "Área de Reacción") y ha elaborado esta determinación sobre potencialmente revisar el mapa del Área de Reacción.

El Adjunto A presenta el Plano con el título "Mapa del Área de Reacción", preparado por SCS Engineers (SCS) con fecha 8 de mayo de 2026. El Plano muestra el límite del Área de Reacción como se indica en la Condición No. 9a que corresponde a los límites de las Celdas 1/2A, 2B/3, 4 y al Módulo 2B/3/4 P2, como línea negra sólida. El Plano también muestra el alcance estimado de las condiciones de ETLF experimentadas en el sitio en base a la revisión de los datos científicos del Comité de Reacción como línea de puntos magenta. El fundamento que sirve como base para considerar ajustes y modificaciones en el límite del Área de Reacción (o la determinación de mantener el límite decretado) incluye lo siguiente:

- Temperaturas del cabezal del pozo de Biogás (LFG) que exceden aproximadamente los 160 grados Fahrenheit.
- Mala calidad del gas (definido como niveles de metano inferiores al 30 por ciento) junto con proporciones de metano-dióxido de carbono (CH₄:CO₂) inferiores a 1.0.
- La concentración de hidrógeno (H₂) en el LFG que mide más del 2 por ciento por volumen.
- La concentración de monóxido de carbono (CO) en el LFG que mide más del 2,000 ppm.
- Asentamiento acelerado de la superficie del vertedero, definido como aproximadamente 18 pulgadas o más dentro de un período de 60 días y grietas en la cubierta del vertedero. Esto corresponde a un índice de un valor de tensión (es decir, un índice de asentamiento) del 3 por ciento por año para zonas con profundidad de columnas de desechos de 300 pies, que creemos que es una profundidad promedio razonable en el tema de interés.
- Observaciones de primera mano del Vertedero y/o del personal de campo de ingeniería, construcción y operaciones y mantenimiento (O&M) de SCS que está en el sitio. 1) exceso atípico de cantidades de lixiviados (presencia y cantidad de líquidos); 2) instancias de líquidos presurizados que salen de la superficie del vertedero, de pozos durante la perforación y de pozos de LFG; y 3) las características de los olores que se originan en áreas selectas de la huella de desechos (generalmente



descritos como "parecidos a productos químicos" y diferentes a los olores típicos del LFG y a los de los trabajos del vertedero).

- Observaciones de condiciones y características de los desechos de la subsuperficie como se indica en los registros de perforación del pozo para nuevos pozos y/o sondas, recién instalados.
- Temperaturas de la subsuperficie registradas en las sondas de temperatura de desechos in-situ durante abril de 2026.
- Temperatura del gas o de los líquidos medida en profundidad dentro del tubo elevador del pozo de LFG (utilizando un transmisor automatizado o instrumentación de campo manual).
- Temperatura y presiones en la subsuperficie asociadas a las actividades de perforaciones para los nuevos pozos de extracción de gas durante abril de 2026, si corresponde.

CONSIDERACIONES DE POTENCIALES AJUSTES AL ALCANCE ESTIMADO DE LAS CONDICIONES DEL ETLF (LÍNEA DE PUNTOS MAGENTA)

Al realizar sus determinaciones mensuales, el Comité de la Reacción evalúa los parámetros del set de datos arriba indicados, junto con otro más, para identificar tendencias significativas que indiquen condiciones de ETLF, en lugar de fluctuaciones exhibidas en puntos de datos aislados.

Cada mes, el Comité de la Reacción examina áreas particulares del Vertedero que previamente exhibieron datos anormales o fluctuantes, cuando aplica. Como se trata a continuación, el Comité ha determinado que hay suficientes datos para ajustar el límite, para incorporar tres áreas distintas que están inmediatamente contiguas (al este y al sur) al límite, como se determinó en el ejercicio mensual anterior. El primer ajuste incluye una sonda de monitoreo de temperatura (TP-25). El segundo ajuste incluye tres pozos de extracción de LFG (CV-2419, CV-2550 y CV-2552). El tercer ajuste incluye cinco pozos de extracción de LFG (CV-2002, CV-2344, CV-2345, CV-2346 y CV-2350) y una sonda de monitoreo de temperatura (TP-5). Estos ajustes se basan en las tendencias demostradas dentro de los datos de abril de 2026 y en los datos de los últimos varios meses.

TP-25

El Comité de la Reacción ha estado supervisando muy de cerca los datos registrados relevantes a las condiciones de la subsuperficie en y alrededor de TP-25 y ha informado sobre esta área en los informes mensuales previos sobre la determinación. Esta sonda de monitoreo de temperatura está ubicada aproximadamente a lo largo del límite de la Celda 2, Fase 2B y del Cañón C, Celda II, Fase 1 y aproximadamente dentro de los 25 pies del límite delineado (línea de puntos magenta) donde coincide con el límite de la Condición No. 9a (línea sólida negra).

A partir de principios de noviembre de 2025, aumentó la temperatura de los desechos in-situ registradas en las termocuplas que están a los 110 pies y a los 130 pies en TP-25 con relación a las mediciones históricas, que habían sido consistentemente menores a 150 grados F. Como se documentó en informes previos, esto podría haberse atribuido a pozos y bombas de los alrededores que se retiraron de servicio temporalmente y se volvieron a activar para que pueda desplegarse la cubierta de geomembrana de EVOH/HDPE. Los aumentos de temperatura que no son característicos en TP-25 solo ocurrieron en los intervalos de profundidad a los 110 pies y a los 130

pies y continuaron durante todo abril de 2026, cuando la temperatura máxima registrada en el intervalo de 130 pies fue de 210 grados F.

Una revisión de los pozos contiguos en la proximidad más cercana al norte, este y sur (CV-25103, CV-2319 y CV-25107S/D) indica que estos pozos tienen temperaturas relativamente bajas (menos de 142 grados F durante abril) que no corresponden con las condiciones de una reacción, aunque las concentraciones de metano promedio en esos pozos generalmente bajaron menos de un 15 por ciento durante abril. Entonces, mientras que no hay temperaturas elevadas presentes, la metanogénesis parece estar impedida de alguna manera en los alrededores.

Por lo tanto, el Comité de la Reacción ajustó levemente el límite de la reacción en base a los datos (línea de puntos magenta) hacia el este, para abarcar un área de 0.25 acres y de esta manera incluir la TP-25 debido al continuo aumento de las temperaturas en esta sonda que continuaron en los datos de abril que sugieren que probablemente haya condiciones de ETLF presentes dentro de los materiales de desecho enterrados alrededor de la sonda de monitoreo de temperatura. Este ajuste hace que el límite de la reacción basado en los datos se extienda más allá del límite de la Condición 9a (línea negra sólida) en esta zona.

Pozos CV-2314, CV-2550 y CV-2552

El Comité de la Reacción ha estado supervisando muy de cerca los datos registrados relevantes a las condiciones de la subsuperficie en y alrededor de CV-2314, CV-2550 y CV-2552. Los tres pozos de extracción de LFG están ubicados dentro de un área de aproximadamente 0.6 acres de la Celda 1/2A y están colocados dentro de aproximadamente los 75 a 100 pies del límite delineado.

Las temperaturas máximas en los pozos durante abril para CV-2314, CV-2550 y CV-2552 fueron de 179, 190 y 174 grados F, respectivamente. Estos pozos experimentaron poco contenido de metano en abril, donde CV-2314 y CV-2550 generalmente producen menos del 10 por ciento. El pozo CV-2552 tuvo concentraciones de metano variables de entre un 15 y un 35 por ciento. Estos pozos exhibieron relaciones de metano-dióxido de carbono de menos de 0.35 en abril. El contenido de H₂ medido en los pozos CV-2314 y CV-2550 durante marzo y abril fue de entre un 12 y un 14 por ciento. El pozo CV-2552 exhibió contenido de H₂ del 4 por ciento en febrero. Los pozos CV-2314 y CV-2550 han exhibido temperaturas máximas en la boca del pozo por encima de los 160 °F en los tres últimos meses.

Una revisión de los pozos contiguos en la proximidad más cercana (CV-24094, CV-24149, CV-2551 y CV-25106S/D) indica que esos pozos tienen temperaturas relativamente bajas (menos de 130 grados F durante abril) que no corresponden con las condiciones de una reacción, aunque las concentraciones de metano promedio generalmente bajan menos de un 20 por ciento durante abril. Entonces, mientras que no hay temperaturas elevadas presentes en esos pozos, la metanogénesis parece estar impedida de alguna manera en los alrededores.

Por lo tanto, el Comité de la Reacción ajustó levemente el límite de la reacción basado en los datos (línea de puntos magenta) hacia el sur, para incluir CV-2314, CV-2550 y CV-2552 porque los cambios acumulados arriba descritos que manifestaron las características de ETLF durante abril y los datos de los meses previos sugieren que probablemente hay condiciones de ETLF presentes dentro de los materiales de desechos enterrados que están alrededor de estos pozos.

Cerca de CV-2344 y CV-2346

El Comité de la Reacción ha estado supervisando muy de cerca los datos registrados relevantes a las condiciones de la subsuperficie en y alrededor de CV-2002, CV-2344, CV-2345, CV-2346, CV-2350 y TP-5 y ha

informado sobre esta área en los informes de las determinaciones mensuales previos. Los cinco pozos de extracción de LFG están ubicados dentro de un área de 1.7 acres del Módulo 4 y están colocados dentro de aproximadamente los 100 a 250 pies del límite delineado. TP-5 está posicionada dentro de aproximadamente 100 pies del límite delineado.

Las temperaturas máximas en los pozos durante abril para CV-2002, CV-2344, CV-2345, CV-2346 y CV-2350 fueron de 180, 172, 138, 185 y 122 grados F, respectivamente. Estos pozos experimentaron poco contenido de metano en abril, donde CV-2344, CV-2346 y CV-2350 generalmente producen menos del 10 por ciento y CV-2002 y CV-2345 exhibieron menos del 20 por ciento. Estos pozos exhibieron relaciones de metano-dióxido de carbono de menos de 0.3 y en abril. El contenido de H₂ medido en estos pozos durante abril fue de entre un 3 y un 15 por ciento. Los pozos CV-2344 y CV-2346 han exhibido temperaturas máximas en la boca del pozo por encima de los 160 °F en los tres últimos meses.

La sonda de monitoreo de temperatura TP-5, que se extiende solo 75 pies por debajo de la superficie del vertedero, tiene temperaturas moderadamente elevadas de 167 grados F en la termocupla que está a los 45 pies, que no necesariamente es un indicativo de condiciones de reacción. No obstante, las temperaturas máximas en las bocas de los pozos contiguos CV-2344 y CV-2346 registradas en los últimos varios meses indican que algunas circunstancias están contribuyendo a las temperaturas en el rango de 170 a 185 grados F. Mientras que la presencia de calor podría atribuirse al movimiento que hay por los colectores horizontales de legado, también es probable que el aumento de calor que hay en esta región se atribuya a condiciones de reacción en la masa de desechos de los alrededores.

La superficie del vertedero inmediatamente al sudoeste de estos pozos ha experimentado varias filtraciones de lixiviados persistentes, sugiriendo que probablemente haya condiciones de reacción que producen presiones excesivas en la subsuperficie y cantidades atípicas de lixiviados en los alrededores de la masa de desechos.

Una revisión de los pozos contiguos en la proximidad más cercana (CV-2001, CV-2347 y CV-2466) indica que estos pozos tienen temperaturas relativamente bajas (menos de 130 grados F durante abril) que no corresponden con las condiciones de una reacción y generalmente concentraciones de metano promedio generalmente más altas (aunque CV-2001 se redujo al 12 por ciento) durante abril, de esta manera indicando que está ocurriendo una metanogénesis en los alrededores.

Por lo tanto, el Comité de la Reacción ajustó levemente el límite de la reacción basado en los datos (línea de puntos magenta) hacia el sur, para incluir CV-2002, CV-2344, CV-2345, CV-2346, CV-2350 y TP-5 porque los cambios acumulados arriba descritos que se notaron en abril sugieren que probablemente hay condiciones de ETLF presentes dentro de los materiales de desechos enterrados que están alrededor de estos pozos y en la sonda de monitoreo de temperatura.

Subáreas Dentro del Límite de la Zona Reactiva Dirigido por los Datos

Como se exhibe en los mapas de rango de gradiente isotérmico que se incluyen como **Adjunto C** de este Informe de Determinación de Zona Reactiva mensual, las temperaturas de los cabezales de pozos de LFG registradas cada mes demuestran varias subáreas dentro del límite dirigido por datos que exhiben consistentemente temperaturas sustancialmente más bajas que otros cabezales de pozos dentro de este límite. Una subárea está posicionada en la parte sur-central de la zona reactiva dirigida por datos y otra está posicionado en la parte central este de la zona reactiva dirigida por datos. Ambas subáreas contienen pozos que exhiben temperaturas que están por debajo de los 130 grados F. El Comité de la Reacción continúa revisando y analizando los datos registrados en los pozos dentro de estas subáreas para evaluar si varios parámetros operativos indican que la gravedad de la reacción se está reduciendo dentro de estas subáreas, como se evidencia con las temperaturas en disminución,

el aumento de las relaciones de metano a dióxido de carbono y la reducción del contenido de H₂ en pozos selectos dentro de estas subáreas.

DATOS DE LAS SONDAS DE MONITOREO DE TEMPERATURA

El Comité de la Reacción revisó las mediciones de temperatura registradas durante abril de 2026 utilizando las sondas de monitoreo de temperatura in-situ. Al 1 de abril de 2026, 11 de las 40 sondas (TP-2, TP-3, TP-9, TP-11, TP-15, TP-16, TP-18, TP-21, TP-22, TP-23 y TP-33) están dentro del límite de la zona reactiva dirigida por datos (línea de puntos magenta). De las 29 sondas restantes colocadas fuera de los límites, 9 sondas se encuentran ubicadas dentro de una proximidad relativamente cercana (dentro de los 200 pies) de este límite.

En abril, la termocupla que está a 45 pies dentro de TP-8 exhibió un aumento relativamente rápido y sustancial en la temperatura, seguido de una reducción igualmente rápida y sustancial en la temperatura, que parece ser inconsistente con el comportamiento de generación y acumulación de calor asociadas a una reacción de la subsuperficie dentro de una extensa masa de desechos enterrada.

Las temperaturas registradas en la termocupla que está a los 150 pies dentro de TP-14 continuaron estables, midiendo consistentemente entre 170 y 171 grados F, después de las anomalías registradas el 27 y el 28 de marzo. Como se indicó en el informe anterior, este abrupto aumento y posterior reducción inmediata a una profundidad de 150 pies es atípico para la generación, acumulación y potencial movimiento del calor dentro de una masa de desechos que experimenta una reacción en la subsuperficie. Esto probablemente está asociado a una anomalía con algunos cambios en la salida de señal o en el mal funcionamiento de los equipos.

Las temperaturas registradas en todos los intervalos de profundidad de la termocupla de TP-19 exhibieron algunos leves aumentos durante abril; sin embargo, la temperatura en el intervalo a los 150 pies demostró un enfriamiento inicial seguido de un aumento de temperatura relativamente rápido y sustancial de casi 50 grados F en un período de dos semanas. El Comité de la Reacción continuará monitoreando las temperaturas de estas termocuplas muy de cerca para evaluar si este aumento se mantiene o si es una anomalía asociada a algún cambio en la salida de la señal o a un mal funcionamiento de los equipos.

El Comité de la Reacción evaluó las temperaturas registradas en las 40 TMPs, con particular atención a las siguientes temperaturas máximas:

- TP-24: 207 grados F en el intervalo a los 265 pies;
- TP-25: 210 grados F en el intervalo a los 130 pies;
- TP-26: 178 grados F en el intervalo a los 150 pies;
- TP-29: 195 grados F en el intervalo a los 240 pies;
- TP-31: 193 grados F en el intervalo a los 180 pies; y
- TP-37: 184 grados F en el intervalo a los 180 pies.

Estas termocuplas registraron temperaturas relativamente consistentes en el período de seis meses previo del 19 de marzo de 2026 al 29 de abril de 2026, excepto que TP-24 exhibió un aumento continuo de 204 a 207 grados F durante el mes de abril y TP-29 midió 186 grados F durante todo el mes hasta que exhibió un repentino aumento de 9 grados a 195 grados F el 10 de abril, seguido de un retorno a 186 grados F al día siguiente y manteniéndose en esa temperatura hasta el último día del mes. Las temperaturas máximas registradas de los desechos durante abril en termocuplas específicas en las seis TMPs identificadas arriba no están demostrando aumentos continuos dentro de las zonas de desechos más profundas

posicionadas entre 130 y 265 pies por debajo de la superficie del vertedero, si se las compara con las mediciones históricas. Las temperaturas dentro de este rango podrían ser potencialmente un indicativo de generación y acumulación de calor, asociadas a condiciones de ETLF cuando están presentes con los factores del razonamiento indicado arriba. Hubo una menor diferenciación entre las temperaturas máximas en 30 días en estas seis TMPs, comparadas con las temperaturas máximas en 30 días medidas en las 11 TMPs dentro del límite de la zona de la reacción dirigida por datos (línea de puntos magenta), excluyendo TP-2 que históricamente ha registrado temperaturas relativamente bajas.

Como se indicó antes en este Informe, el Comité de la Reacción ajustó levemente el límite de la reacción en base a los datos (línea de puntos magenta) hacia el este, para incluir la TP-25 debido al continuo aumento de las temperaturas en esta sonda que se observaron en los datos de abril que sugieren que probablemente haya condiciones de ETLF presentes dentro de los materiales de desecho enterrados alrededor de la sonda de monitoreo de temperatura. Este ajuste hace que el límite de la reacción basado en los datos se extienda más allá del límite de la Condición 9a (línea negra sólida) en esta zona.

Similar a análisis de datos de meses anteriores, los pozos de LFG alrededor de las seis TMPs identificadas arriba no demostraron evidencia que corrobore el calor o el impedimento de metanogénesis, como se indica a continuación:

- Los cuatro pozos que están alrededor de TP-24 (CV-24086, CV-24087, CV-24174 y CV-24175) registraron una temperatura promedio en el cabezal del pozo de LFG durante abril de 121 grados F, que es muy por debajo del rango asociado a las condiciones de ETLF. Esos cuatro pozos también registraron una concentración de metano promedio de un 30 por ciento durante este período, que es consistente con producción de metano de biogás típica para estas Instalaciones. Estos valores son típicos de mediciones registradas en estos pozos en los últimos seis meses.
- El pozo CV-2319, que está inmediatamente al este de TP-25, registró una temperatura en el cabezal del pozo de LFG durante abril de 142 grados F; y la concentración de metano fue del 10 por ciento durante el mes. TP-25 está siendo incluida en el límite basado en los datos y está demostrando calor atípico al nivel de los 130 pies, pero el pozo contiguo exhibe temperaturas consideradas normales para la descomposición anaeróbica de desechos enterrados.
- El pozo CV-24218 que está muy cerca de TP-26 registró una temperatura en el cabezal del pozo de LFG durante abril de 124 grados F y una concentración de metano del 42 por ciento durante este período, que sugiere condiciones de descomposición normal de la subsuperficie asociada a la producción de metano. Estos valores son típicos de las mediciones registradas en este pozo en los últimos seis meses.
- Los tres pozos que rodean TP-29 (CV-24091, CV-24171 y CV-24207) registraron una temperatura promedio en el cabezal del pozo de LFG durante abril de 114 grados F y una concentración de metano promedio del 50 por ciento durante este período, que sugiere condiciones de descomposición normal de la subsuperficie asociada a la producción de metano. Este valor de metano es típico de mediciones registradas en estos pozos en los últimos seis meses.
- Los dos pozos contiguos a TP-31 (CV-2319 y CV-24111) registraron una temperatura promedio en el cabezal del pozo de LFG durante marzo de 131 grados F, que es muy por debajo del rango asociado a las condiciones de ETLF. Mientras que la concentración de metano promedio en CV-2319 durante el último mes fue del 10 por ciento, la concentración de metano promedio en CV-24111 durante el último

mes fue del 46 por ciento, que sugiere condiciones de descomposición normal en la subsuperficie, asociada a producción de metano.

- El pozo contiguo a TP-37 (CV-24109) registró una temperatura de cabezal de pozo de LFG durante abril de 100 grados F y una concentración de metano del 28 por ciento, que continuó correspondiendo al vacío aplicado en este pozo y estos valores no son representativos de condiciones de ETLF.

Los pozos que están alrededor de estas seis TMPs no exhibieron evidencia de calor atípico o de la composición del LFG asociado a condiciones de ETLF.

Por lo tanto, el Comité de la Reacción no cree que se justifique en este momento un ajuste en el límite de la Zona Reactiva que incluya las partes de la huella de desechos que incluya TP-24, TP-26, TP-29, TP-31 o TP-37.

CONCENTRACIONES DE HIDRÓGENO

El Comité de Reacción también evaluó la concentración de H₂ en el LFG durante abril de 2026. Recordamos que ciertos pozos posicionados al Sur este del límite de la Zona Reactiva (donde las bombas de desagote experimentaron algunas bajas de servicio debido a la instalación de las cubiertas de EVOH/HDPE y fueron reactivadas en subáreas selectas) habían demostrado periódicamente algún aumento en el contenido de H₂ en el LFG durante la revisión del Comité de Reacción de los datos de los meses anteriores, que fue un caso similar para los datos de abril de 2026. El Comité de la Reacción notó en su revisión de los datos que estos pozos no exhibieron temperaturas elevadas, excepto en los pozos CV-2002, CV-2312, CV-2314, CV-2344, CV-2346 y CV-2550. Como se indicó previamente en este Informe, el Comité de la Reacción ajustó el límite de la reacción dirigido por datos (línea de puntos magenta) para incluir CV-2002, CV-2314, CV-2344, CV-2346 y CV-2550.

El pozo CV-2312 fue retirado de servicio a principios de octubre de 2025 y después se volvió a activar a mediados de febrero. Actualmente no tiene una bomba de desagote. Aunque este pozo exhibió una temperatura promedio en la boca del pozo de 166 grados F, una concentración de metano promedio de solo el 4 por ciento y un contenido de hidrógeno del 14 por ciento durante abril, estas condiciones fueron ocurrencias aisladas limitadas a un solo pozo y no estuvieron presentes en ningún otro pozo de los alrededores (CV-24151, CV-24152, CV-24155, CV-2544 y CV-2546). Además, las temperaturas de los desechos in situ en TMPs contiguas (TP-14 y TP-34) no fueron consistentes con las temperaturas elevadas medidas en otros lugares en el sitio donde hay reacción presente.

Las temperaturas promedio no ofrecen evidencia del aumento de calor que es típico con condiciones de ETLF en los otros pozos, exhibiendo concentraciones de H₂ atípicas. Como se notó previamente, el Comité de la Reacción sospecha que este aumento en el contenido de H₂ podría atribuirse a los sustanciales desagotes que se están logrando en toda la Zona Reactiva y podría estar asociado al movimiento de gas desde adentro de la Zona Reactiva por los colectores horizontales cercanos existentes. Por lo tanto, la presencia de H₂ elevado en estos lugares aislados no sugiere que las condiciones de ETLF se estén expandiendo hacia el sur o hacia el este del límite delineado. Por lo tanto, el Comité de Reacción no cree que se justifique un ajuste en el límite de la Zona Reactiva, excepto los ajustes indicados arriba, en este momento.

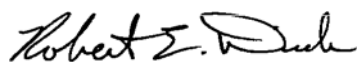
CONCLUSIÓN

Como se presenta en el Plano incluido como **Adjunto A** el alcance estimado de las condiciones de ETLF (línea de puntos de color magenta) está completamente contenido dentro del límite del Área de Reacción decretado en la SOFA (línea sólida negra), excepto en una longitud del segmento de aproximadamente 200 pies a lo largo del límite este de la Celda 1/2A donde sobresale hacia el este, para abarcar TP-25, como se indicó previamente. Como las condiciones del ETLF ya no están completamente contenidas dentro del límite del Área de Reacción y se expandieron a una celda nueva, el Comité de Reacción tiene una base para modificar el límite del Área de Reacción como se indica en la Condición 9a, para incluir un área de 0.25 acres que contenga TP-25 en este momento.

No hubo ninguna opinión disidente entre los miembros del Comité de Reacción sobre esta determinación mensual. Los datos de respaldo se presentan en el Plano incluido como **Adjunto A**. Las mediciones de temperaturas máximas registradas en las 40 sondas de monitoreo de temperatura de los desechos in-situ (tanto valores de 7 Días como de 30 Días) durante abril se presentan en el **Adjunto B** en formato gráfico. Las temperaturas en el cabezal de pozo de LFG registradas en los pozos de extracción en toda la huella del Vertedero se reflejan en el mapa de rango de gradiente isotérmica presentado como **Adjunto C**. Las relaciones de CH₄:CO₂ medidas en los cabezales de pozos de LFG en la vecindad del límite de la Zona Reactiva dirigida por datos se exhiben en el mapa de rangos presentado como **Adjunto D**. Las concentraciones de H₂ medidas en los cabezales de pozos de LFG en la vecindad del límite de la Zona Reactiva dirigida por datos se exhiben en el mapa de rangos presentado como **Adjunto E**. Las concentraciones de CO medidas en los cabezales de pozos de LFG en la vecindad del límite de la Zona Reactiva dirigida por datos se exhiben en el mapa de rangos presentado como **Adjunto F**. Los valores isopáquicos del asentamiento de la superficie del vertedero medidos trimestralmente (7 de enero de 2026 comparado con los del 25 de marzo de 2026) cerca del límite de la Zona Reactiva dirigida por datos se exhiben en el mapa de rangos como **Adjunto G**. La base de datos electrónica y la plataforma de registros permiten que estas mediciones puedan descargarse en un formato de hoja de cálculo tabular, que puede ser presentado al Distrito de Gestión de la Calidad del Aire de la Costa Sur en una portada separada, si lo solicitan.

Por favor, comuníquese con el firmante si tiene preguntas o si necesita más información.

Atentamente,



Robert E. Dick, PE, BCEE
Vicepresidente Sénior
SCS Engineers



Patrick S. Sullivan, BCES, CCP
Vicepresidente Sénior
SCS Engineers

RED/PSS

cc: Nathaniel Dickel, SCAQMD
Christina Ojeda, SCAQMD
Patrick S. Sullivan, REPA, CPP, BCES, SCS Engineers
Pablo Sánchez Soria, PhD, CIH, CTEH
Neal Bolton, PE, Blue Ridge Services, Inc.
Richard Pleus, PhD, Intertox

Sr. Baitong Chen
8 de mayo de 2026
Página 9

Srividhya Viswanathan, PE, SCS Engineers Adjuntos:

Adjunto A - Mapa del Área de Reacción

Adjunto B - Datos de las Sondas de Monitoreo de Temperatura de los Desechos In-Situ

Adjunto C - Mapa de Distribución de Gradientes Isotérmicas

Adjunto D - Mapa de Distribución de Metano-Dióxido de Carbono del Cabezal del Pozo

Adjunto E - Mapa de Distribución de Hidrógeno en el Cabezal del Pozo

Adjunto F - Mapa de Distribución de Monóxido de Carbono del Cabezal del Pozo

Adjunto G - Mapa Isopáquico de Distribución de los Asentamientos

Solid Waste Borehole Maximum
Temperature Profiles Over 6 Weeks
for 3/19/2026 12:00 AM to 4/29/2026 11:59 PM

SCS ENGINEERS

07224053.00 | April 30, 2026

274 Granite Run Drive
Lancaster, PA 17601
717-550-6330

From April 23, 2026, through April 29, 2026, there were two recorded temperature increases and one recorded temperature decrease that triggered the notification limits set forth in the LEA's October 4, 2024 letter.

Chiquita provides the following updates:

- TP-08
 - The 125-foot thermocouple went offline on March 3rd and TP-8 was offline between March 6th and March 9th for evaluation and maintenance. Upon removing the thermocouples, the casing for TP-08 was found to be damaged due to differential settlement beyond 45-feet, thus preventing the installation of the 100-foot, 125-foot, and 150-foot thermocouples. The 15-foot, 30-foot, and 45-foot thermocouples are active and reporting data.
 - The 30-foot thermocouple remained consistent with previous recorded temperatures.
 - The 45-foot thermocouple showed an increase in maximum temperature of 15 °F from 156 °F to 171 °F April 22nd to April 28th and then a decrease in maximum temperature of 11 °F from 171 °F to 160 °F April 28th to April 29th.

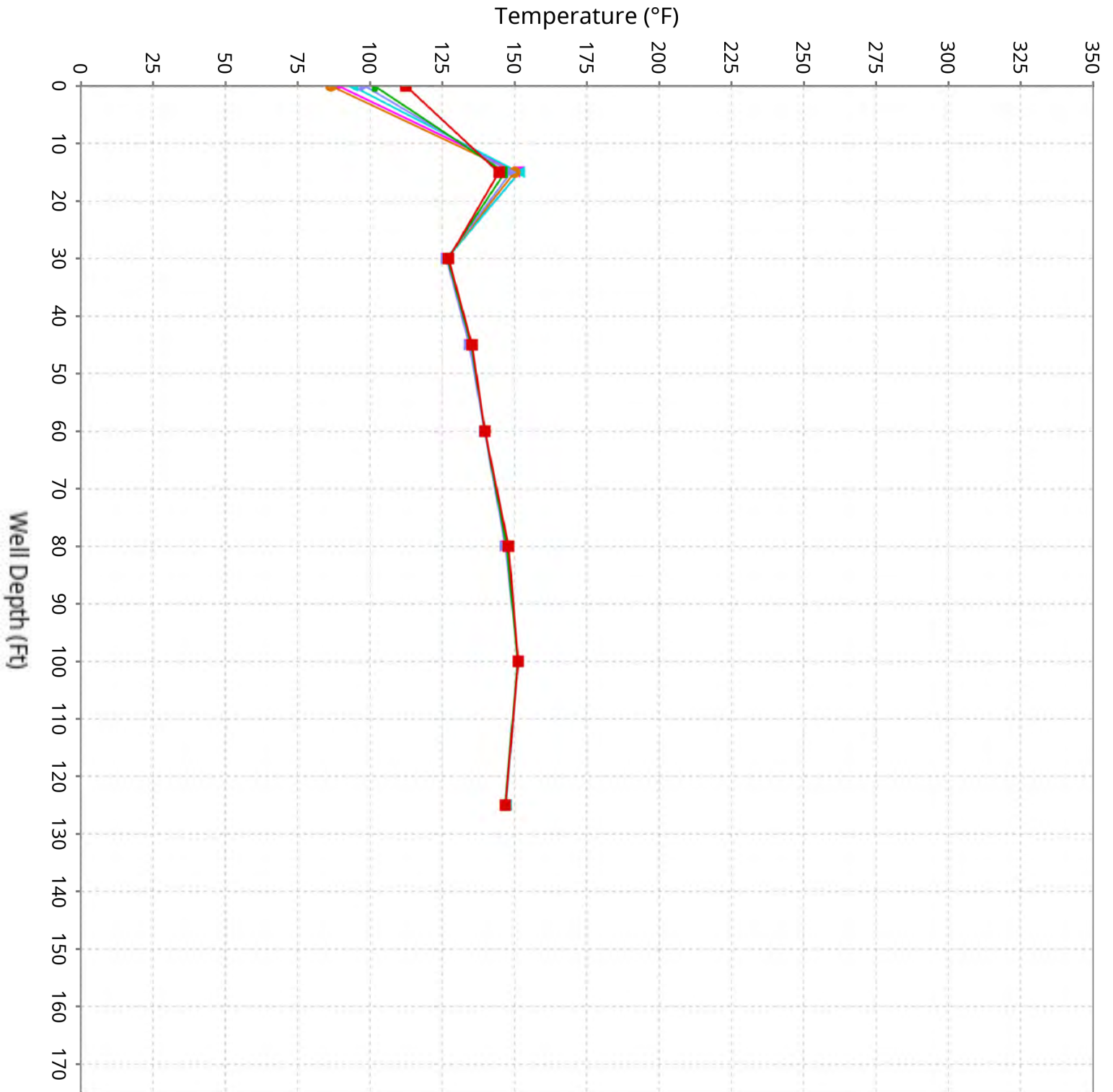
- TP-19
 - The 150-foot thermocouple showed an increase in maximum temperature of 21 °F from 185 °F to 206 °F from April 23rd to April 29th.

- TP-23
 - TP-23 reported maximum values of 2508 °F on March 31st, due to being taken offline for pumping liquids from the probe casing prior to thermocouples being re-installed, causing the single day erroneous readings.

- TP-36
 - The 250-foot thermocouple was evaluated due to low temperatures on April 6th and wiring that had come loose was corrected. After fixing the wiring issues temperatures returned to 136 °F as previously recorded prior to March 21st.

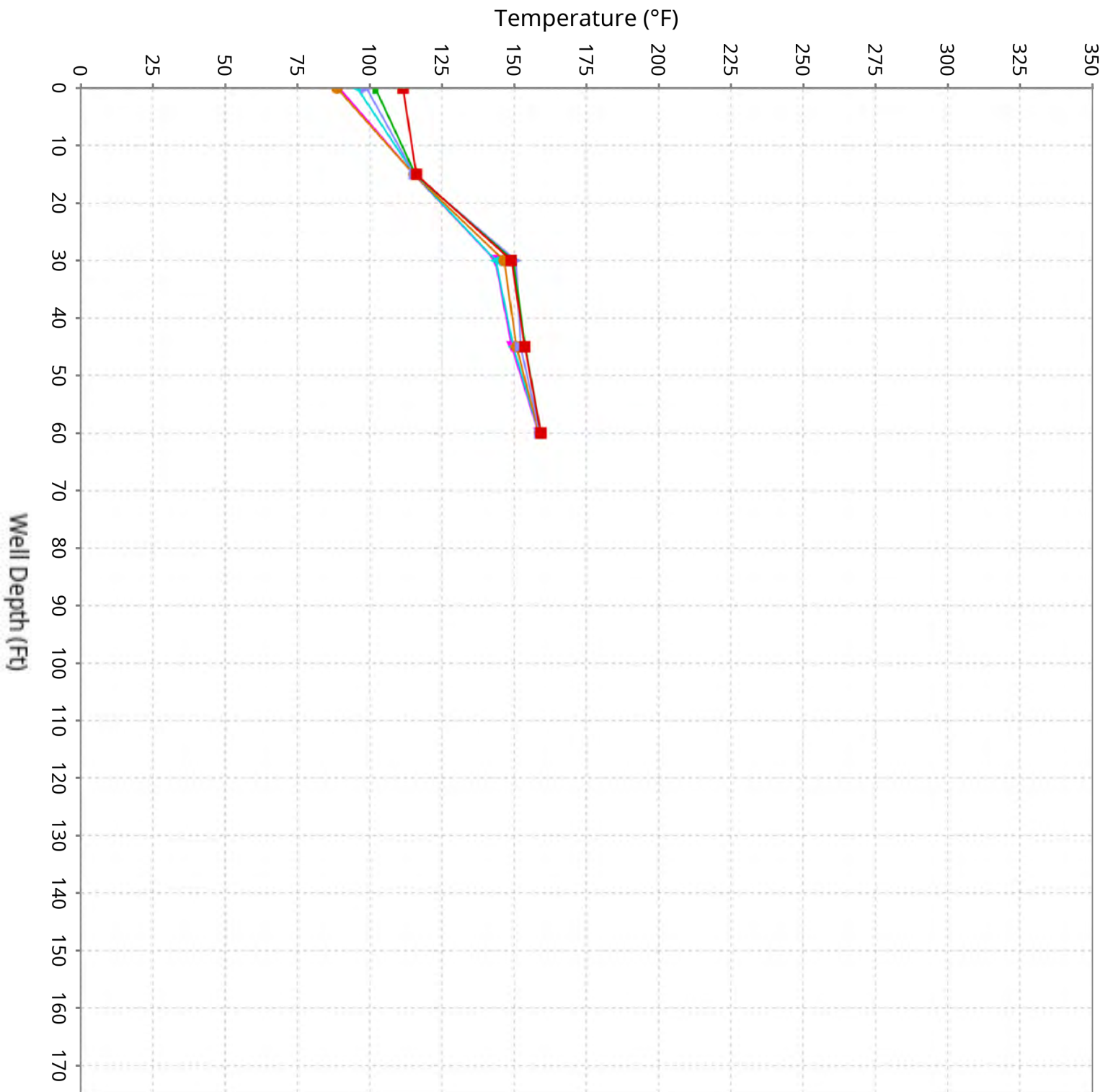
Vertical Temperature Profiles from Temperature Probes at Chiquita Landfill for TP-1

Maximum data for 3/19/2026 12:00 AM to 4/29/2026 11:59 PM



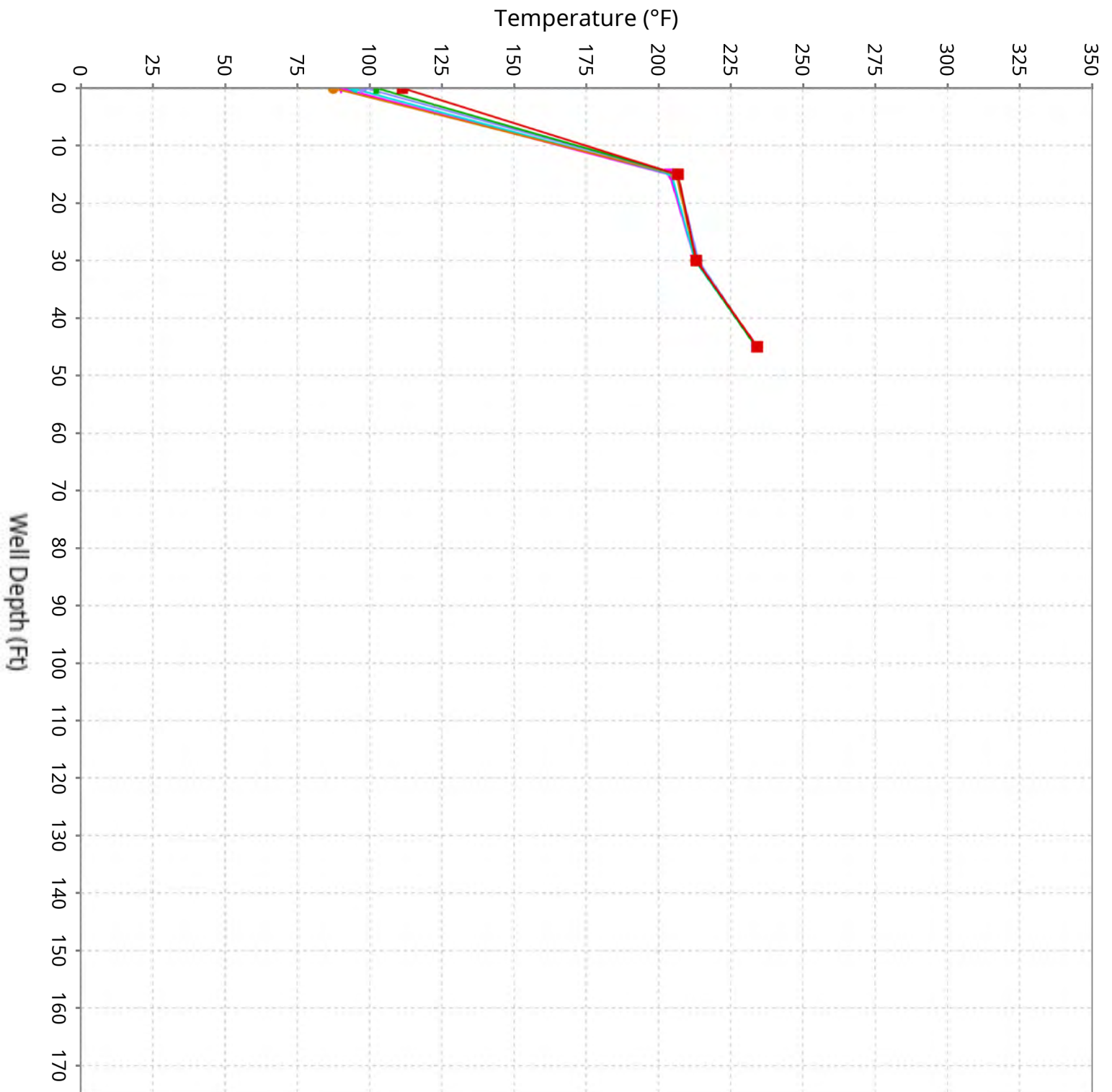
Vertical Temperature Profiles from Temperature Probes at Chiquita Landfill for TP-2

Maximum data for 3/19/2026 12:00 AM to 4/29/2026 11:59 PM



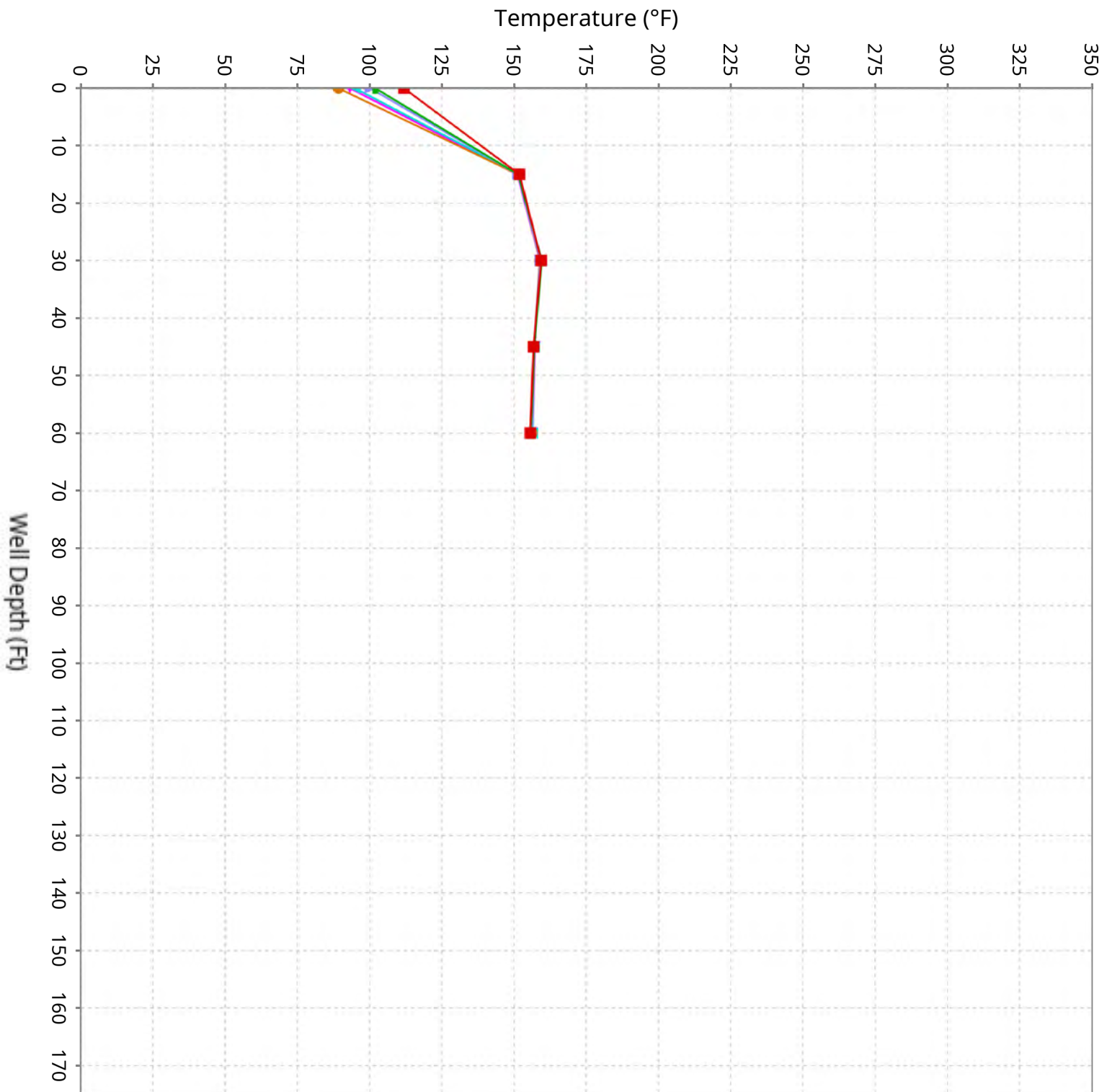
Vertical Temperature Profiles from Temperature Probes at Chiquita Landfill for TP-3

Maximum data for 3/19/2026 12:00 AM to 4/29/2026 11:59 PM



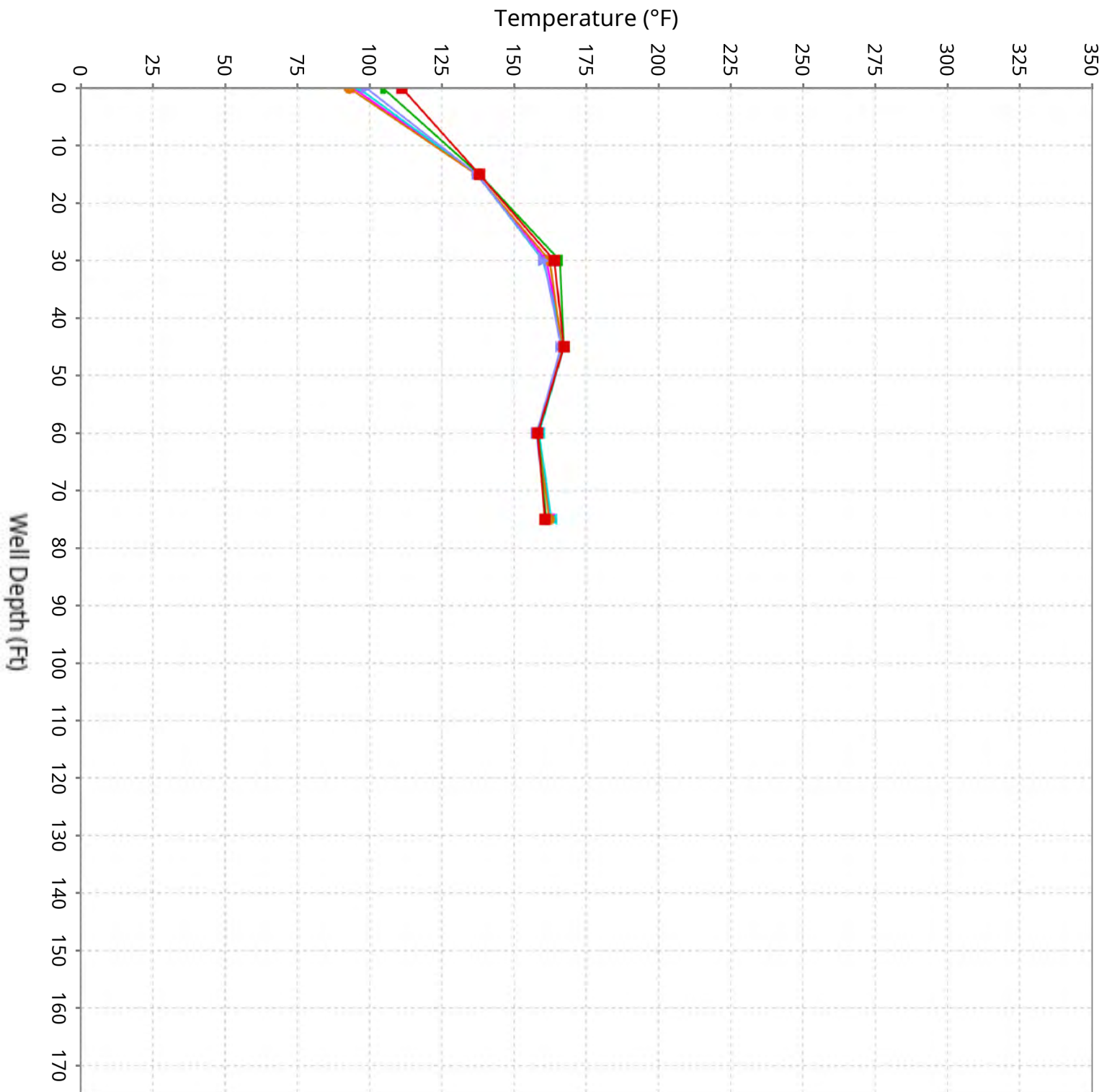
Vertical Temperature Profiles from Temperature Probes at Chiquita Landfill for TP-4

Maximum data for 3/19/2026 12:00 AM to 4/29/2026 11:59 PM



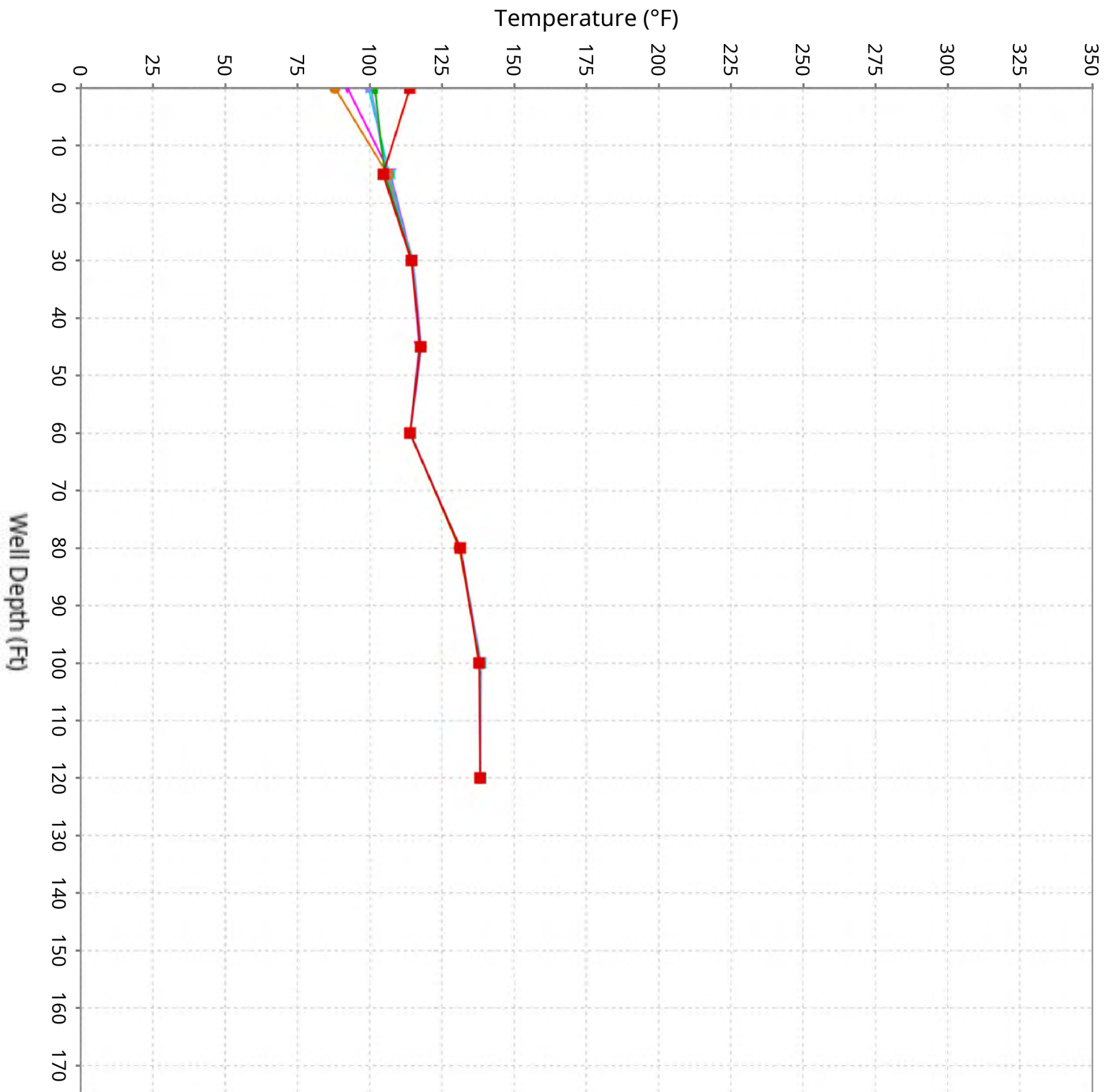
Vertical Temperature Profiles from Temperature Probes at Chiquita Landfill for TP-5

Maximum data for 3/19/2026 12:00 AM to 4/29/2026 11:59 PM



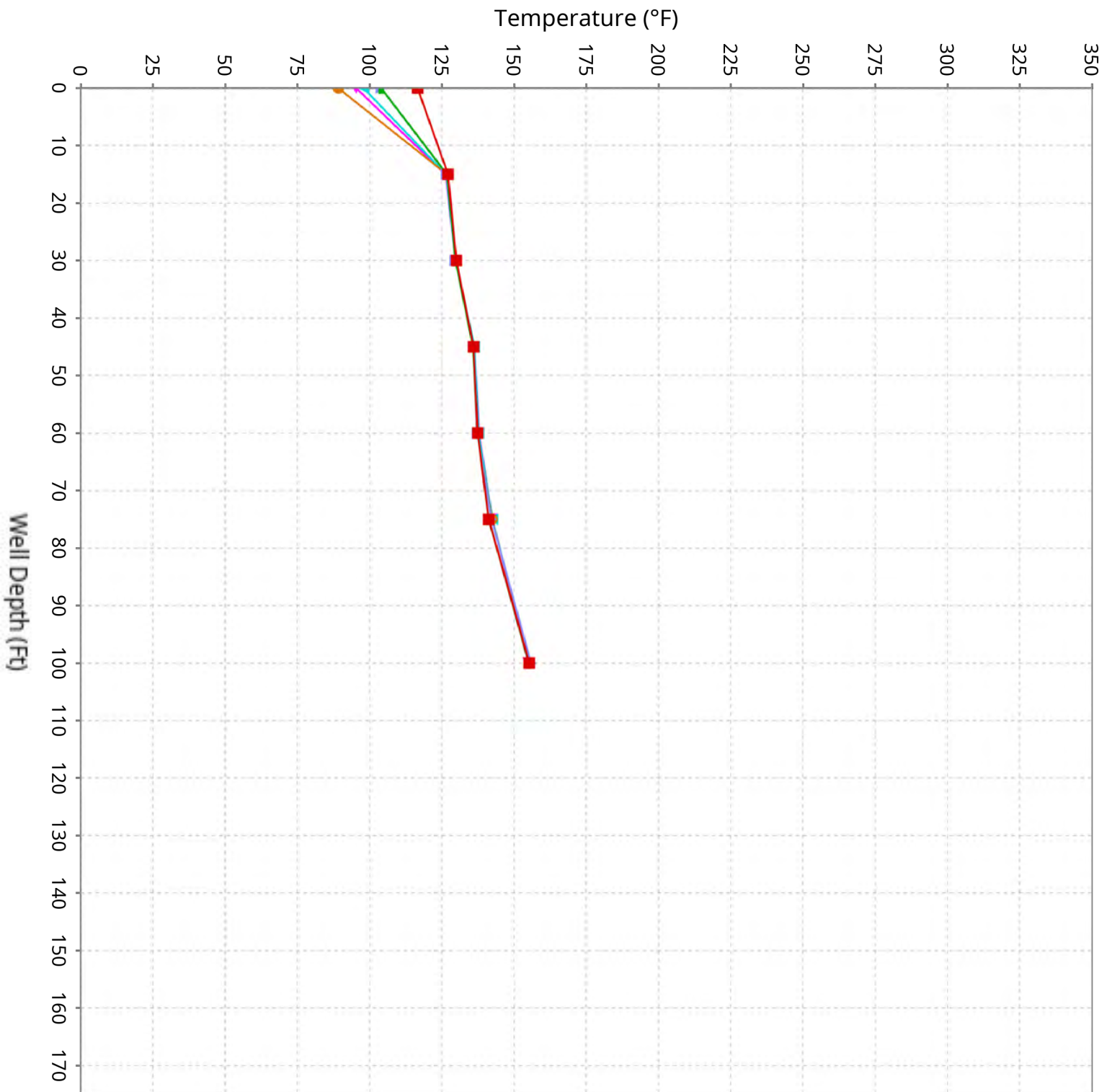
Vertical Temperature Profiles from Temperature Probes at Chiquita Landfill for TP-6

Maximum data for 3/19/2026 12:00 AM to 4/29/2026 11:59 PM



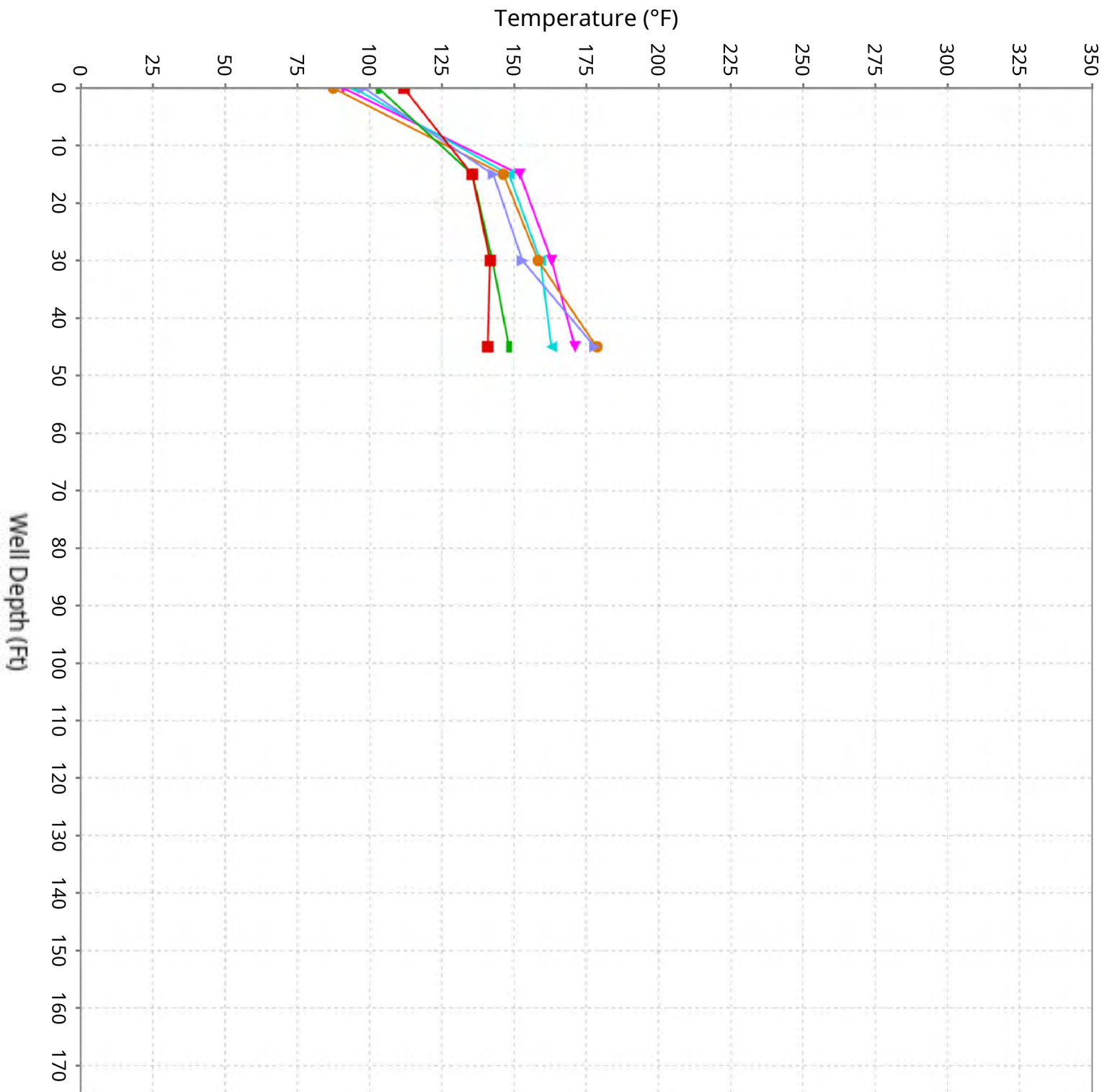
Vertical Temperature Profiles from Temperature Probes at Chiquita Landfill for TP-7

Maximum data for 3/19/2026 12:00 AM to 4/29/2026 11:59 PM



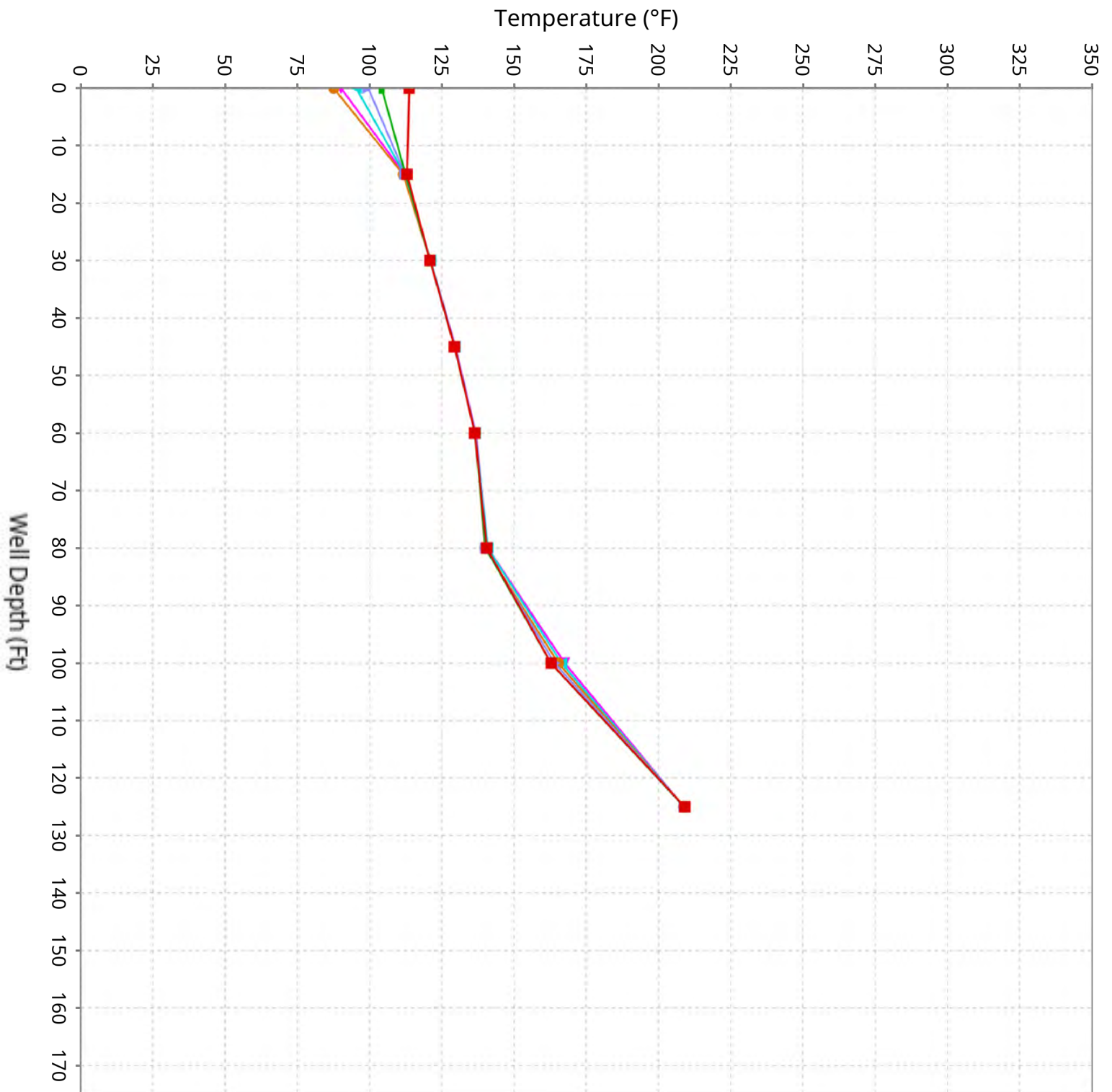
Vertical Temperature Profiles from Temperature Probes at Chiquita Landfill for TP-8

Maximum data for 3/19/2026 12:00 AM to 4/29/2026 11:59 PM



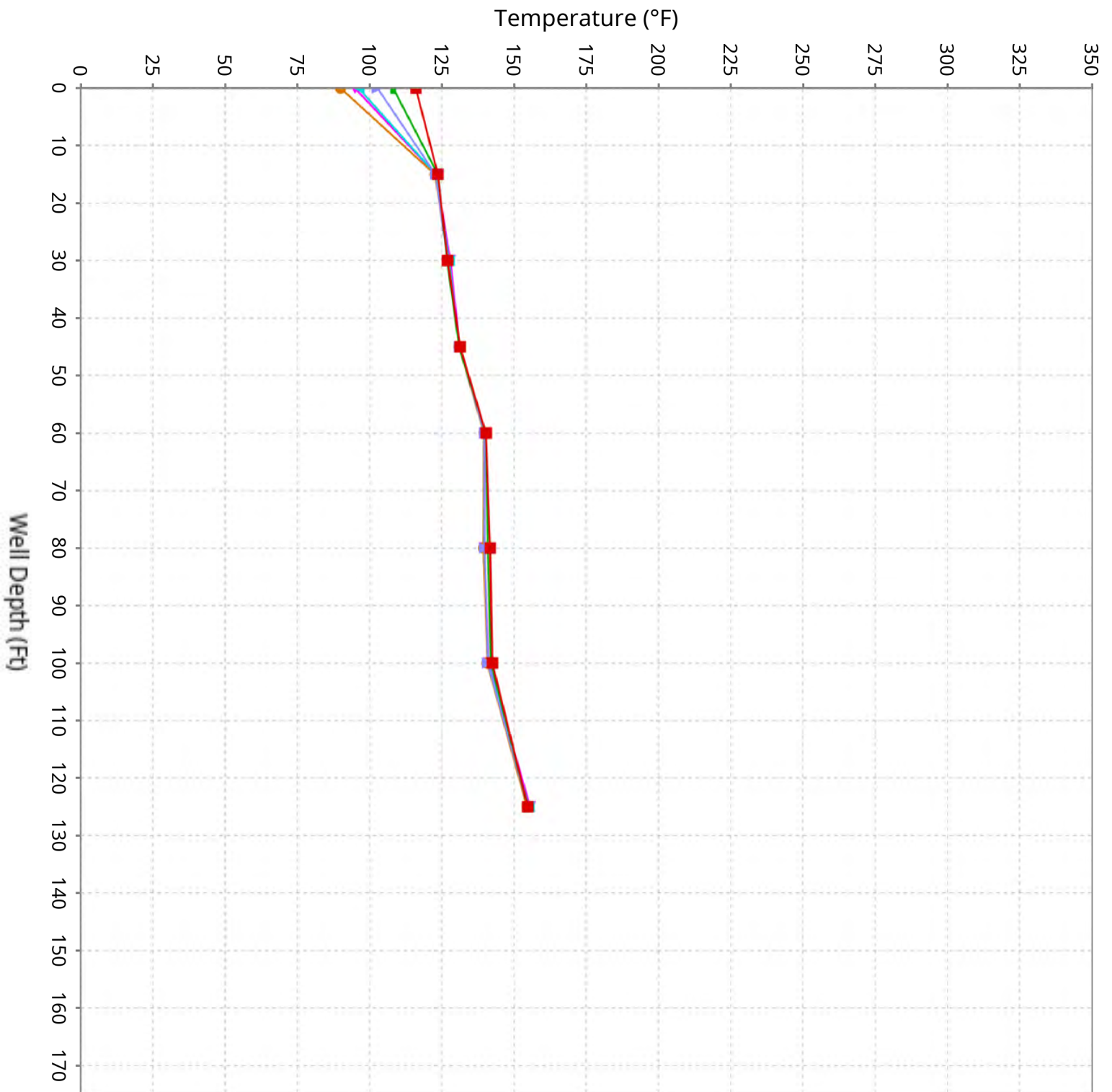
Vertical Temperature Profiles from Temperature Probes at Chiquita Landfill for TP-9

Maximum data for 3/19/2026 12:00 AM to 4/29/2026 11:59 PM



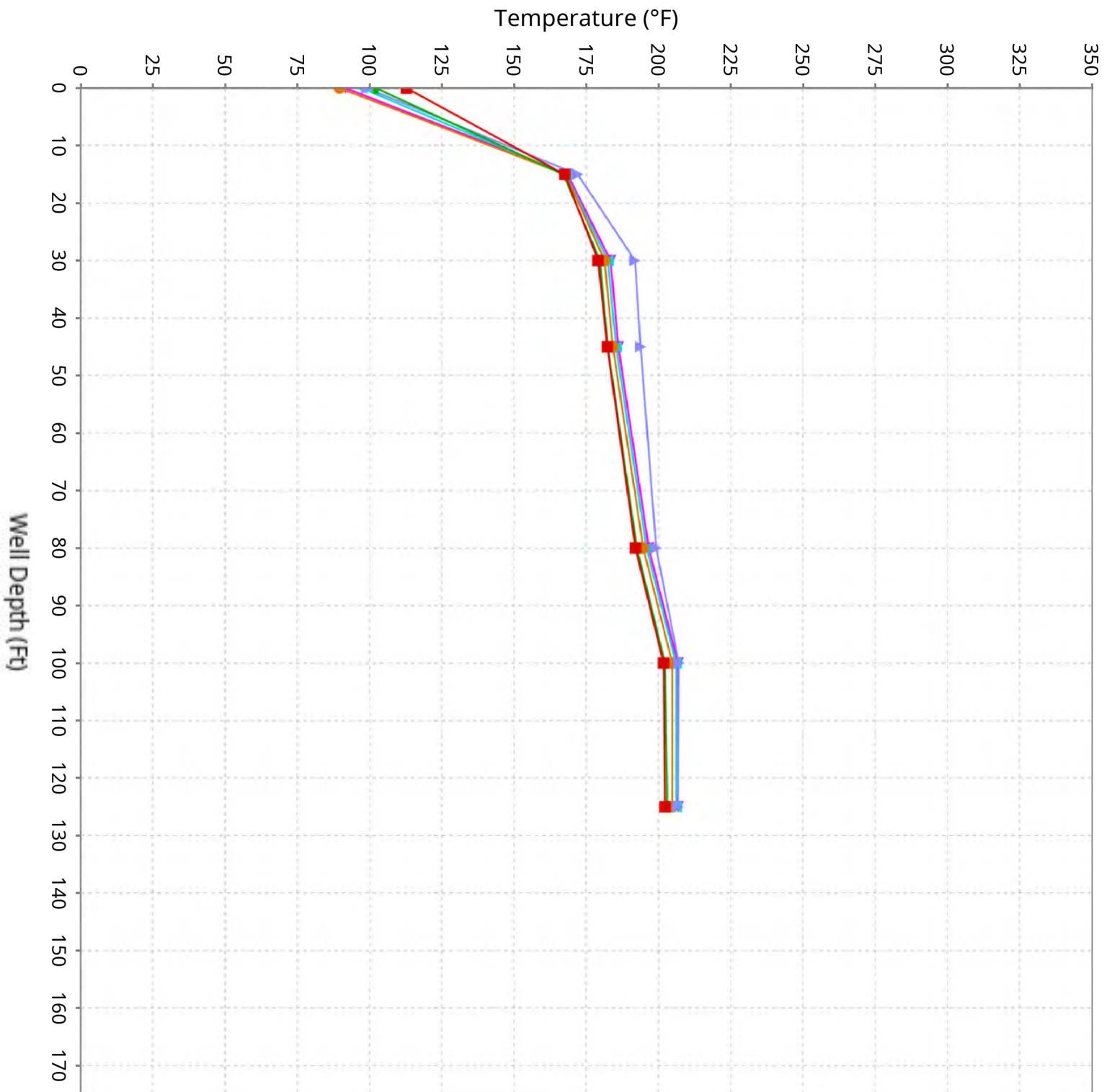
Vertical Temperature Profiles from Temperature Probes at Chiquita Landfill for TP-10

Maximum data for 3/19/2026 12:00 AM to 4/29/2026 11:59 PM



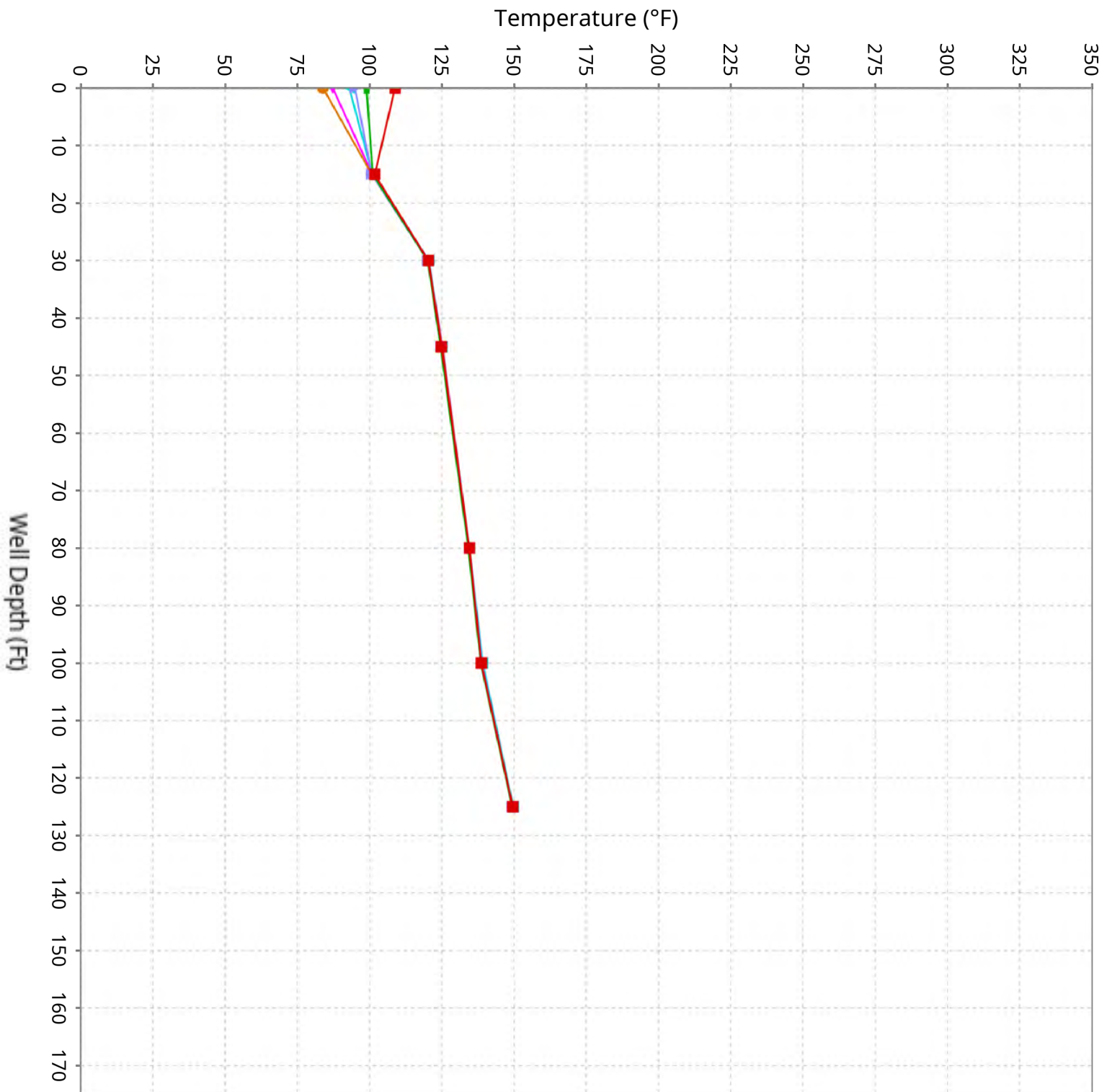
Vertical Temperature Profiles from Temperature Probes at Chiquita Landfill for TP-11

Maximum data for 3/19/2026 12:00 AM to 4/29/2026 11:59 PM



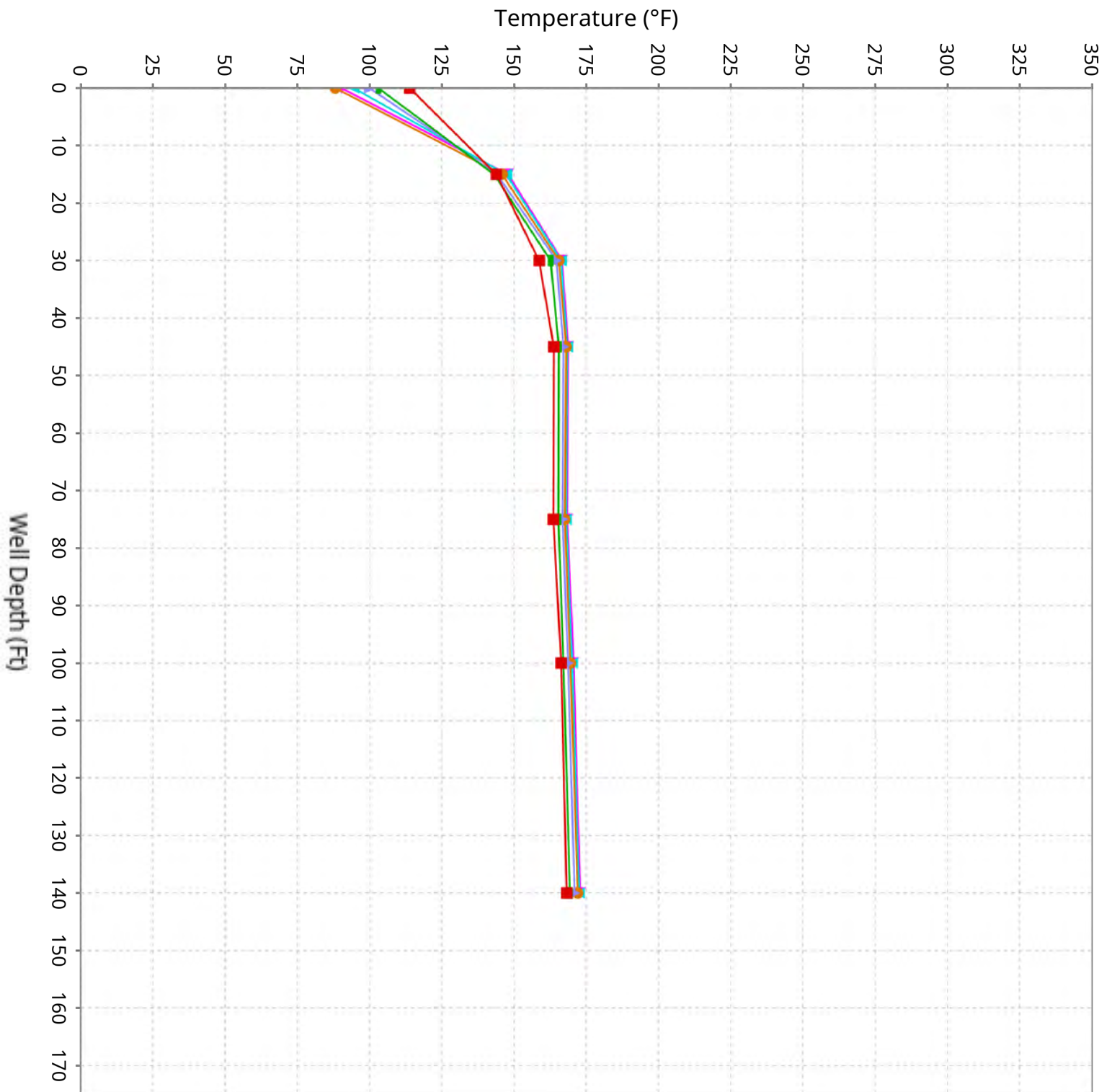
Vertical Temperature Profiles from Temperature Probes at Chiquita Landfill for TP-12

Maximum data for 3/19/2026 12:00 AM to 4/29/2026 11:59 PM



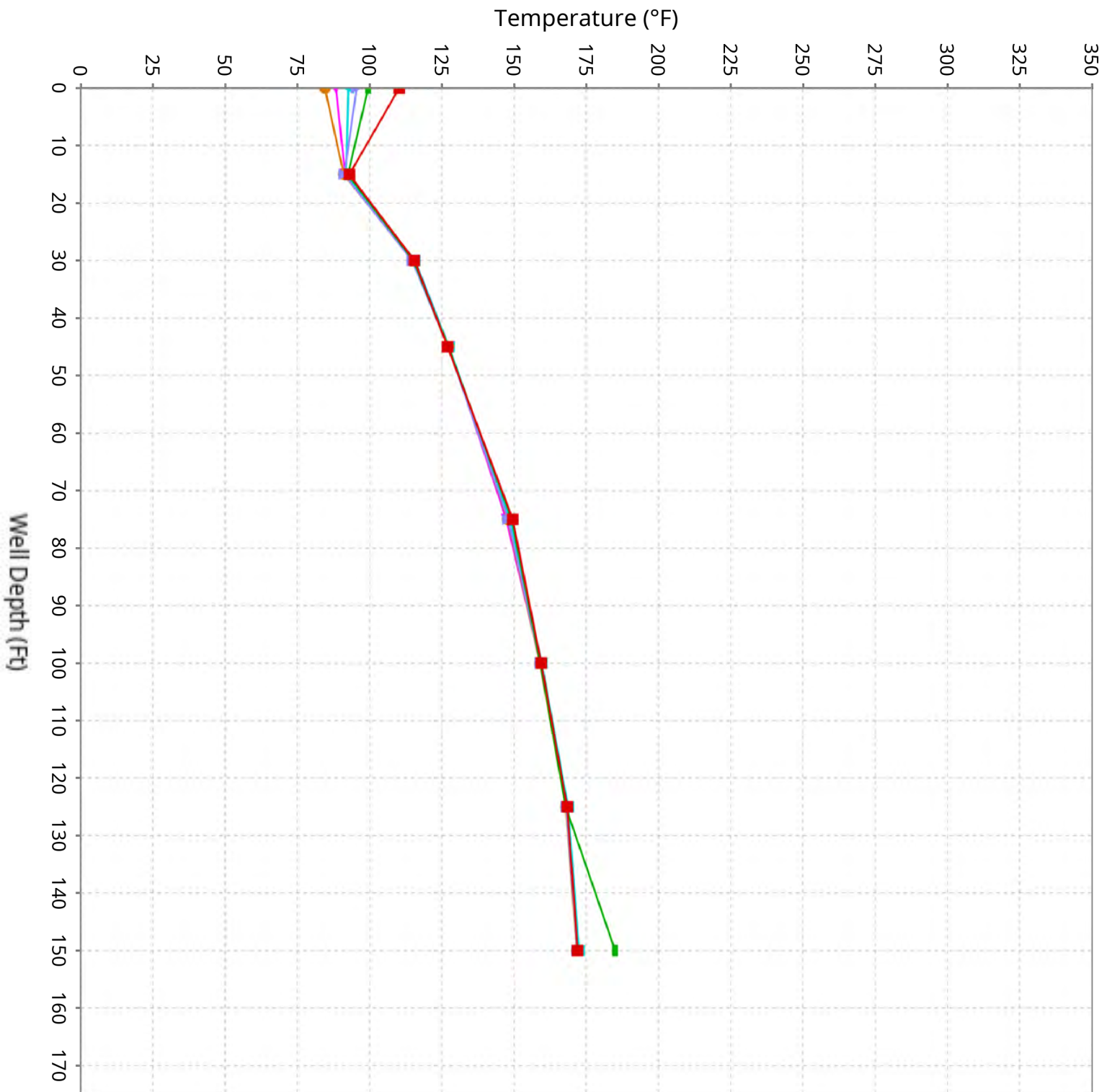
Vertical Temperature Profiles from Temperature Probes at Chiquita Landfill for TP-13

Maximum data for 3/19/2026 12:00 AM to 4/29/2026 11:59 PM



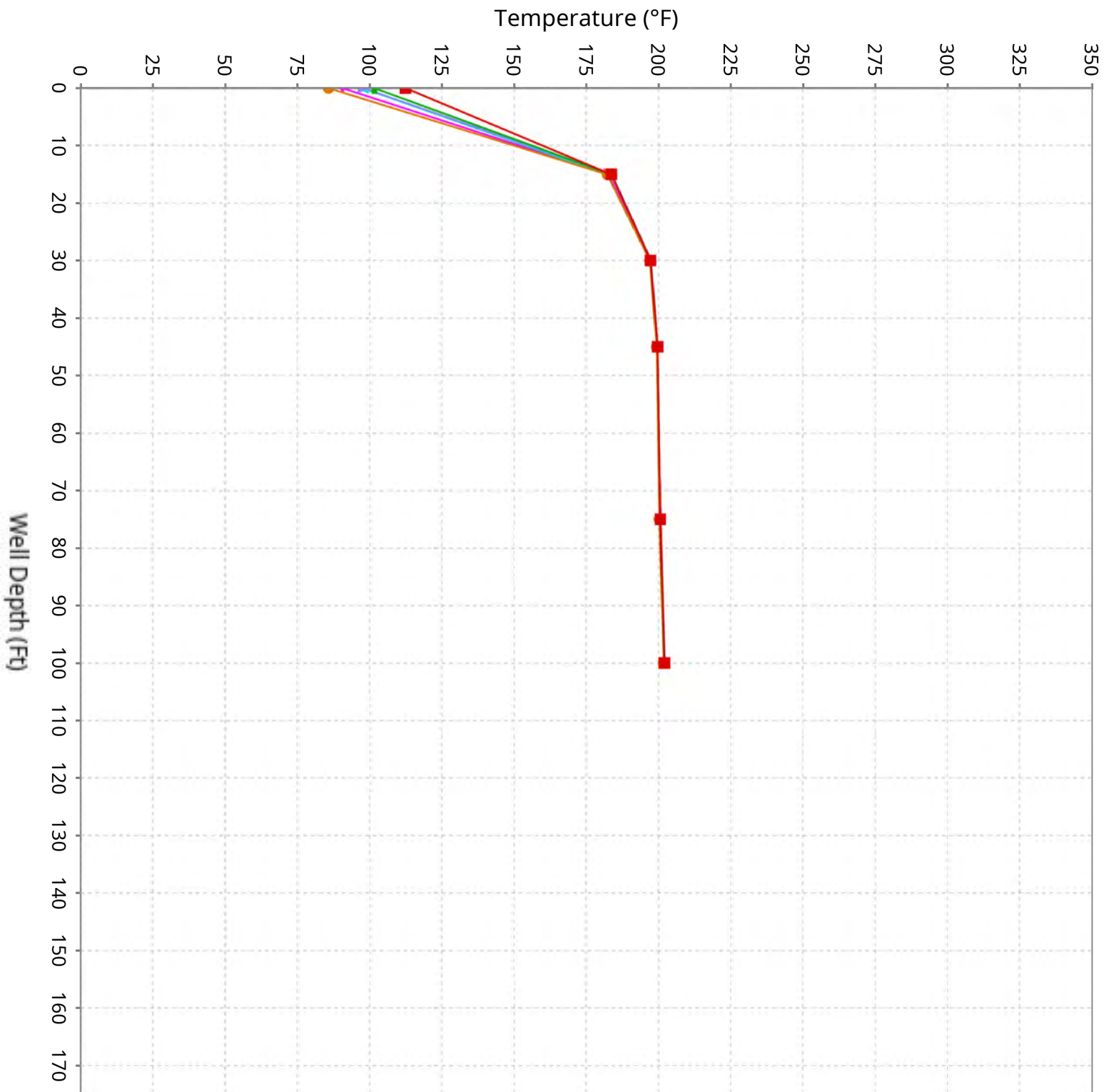
Vertical Temperature Profiles from Temperature Probes at Chiquita Landfill for TP-14

Maximum data for 3/19/2026 12:00 AM to 4/29/2026 11:59 PM



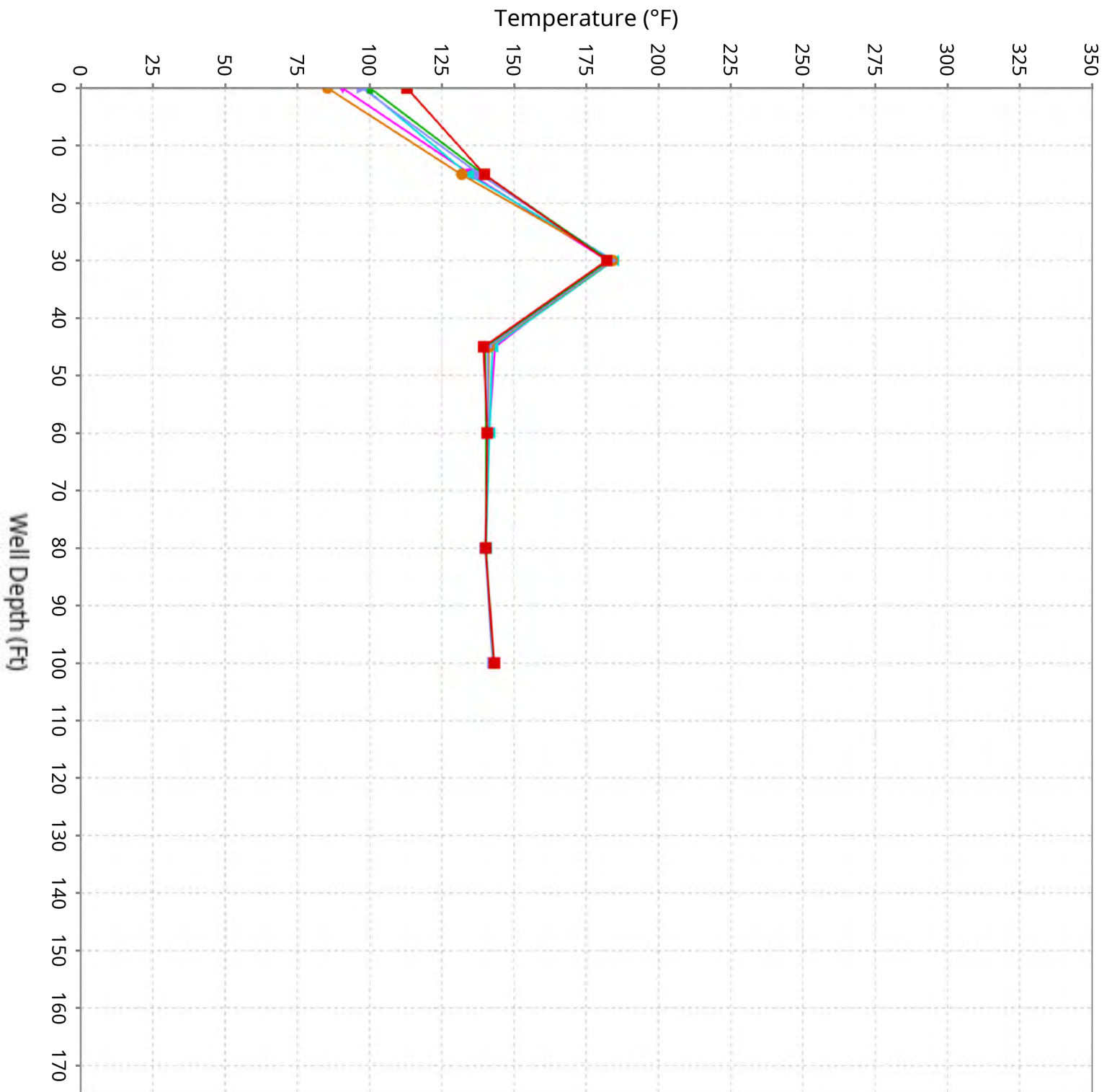
Vertical Temperature Profiles from Temperature Probes at Chiquita Landfill for TP-15

Maximum data for 3/19/2026 12:00 AM to 4/29/2026 11:59 PM



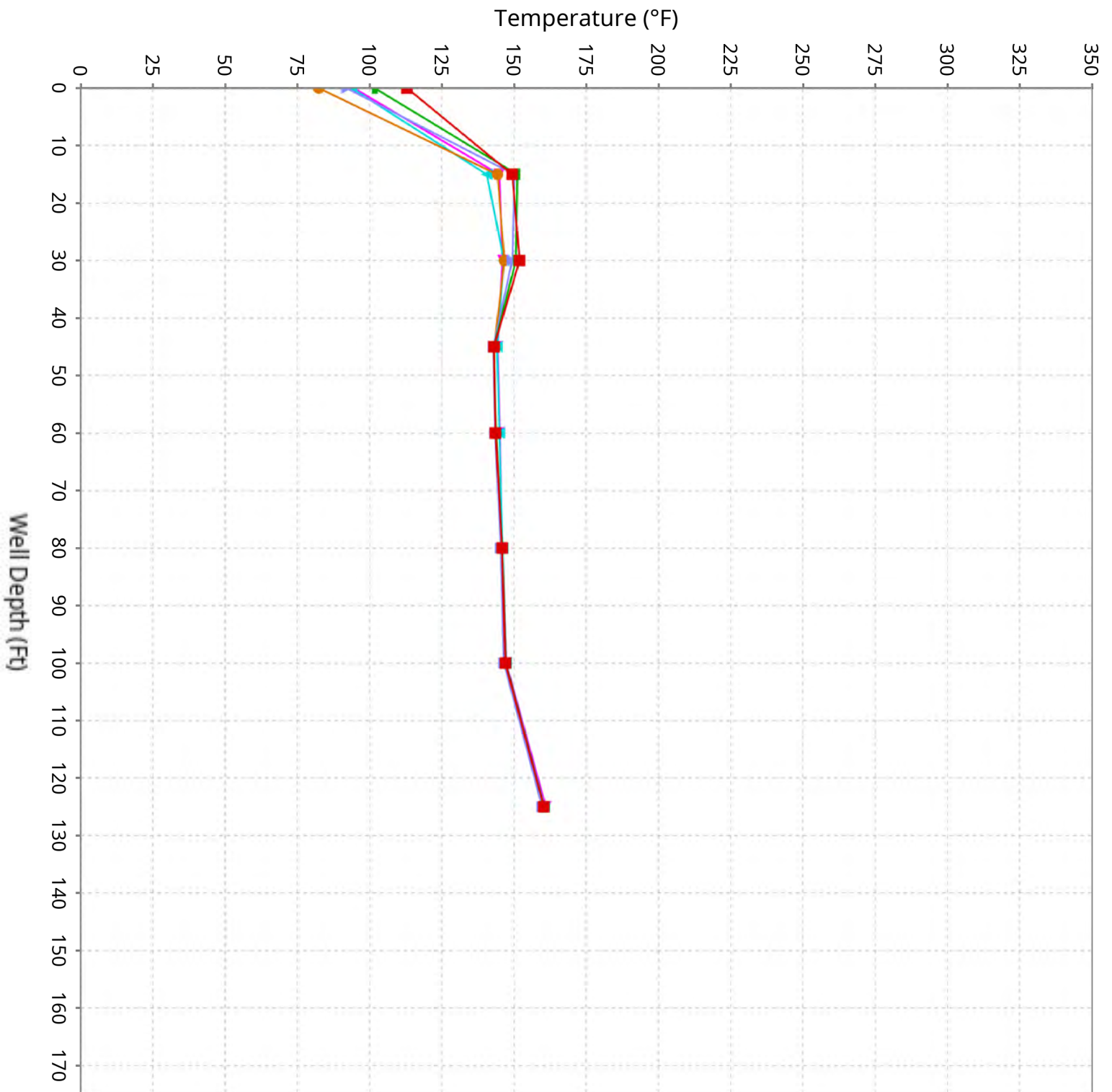
Vertical Temperature Profiles from Temperature Probes at Chiquita Landfill for TP-16

Maximum data for 3/19/2026 12:00 AM to 4/29/2026 11:59 PM



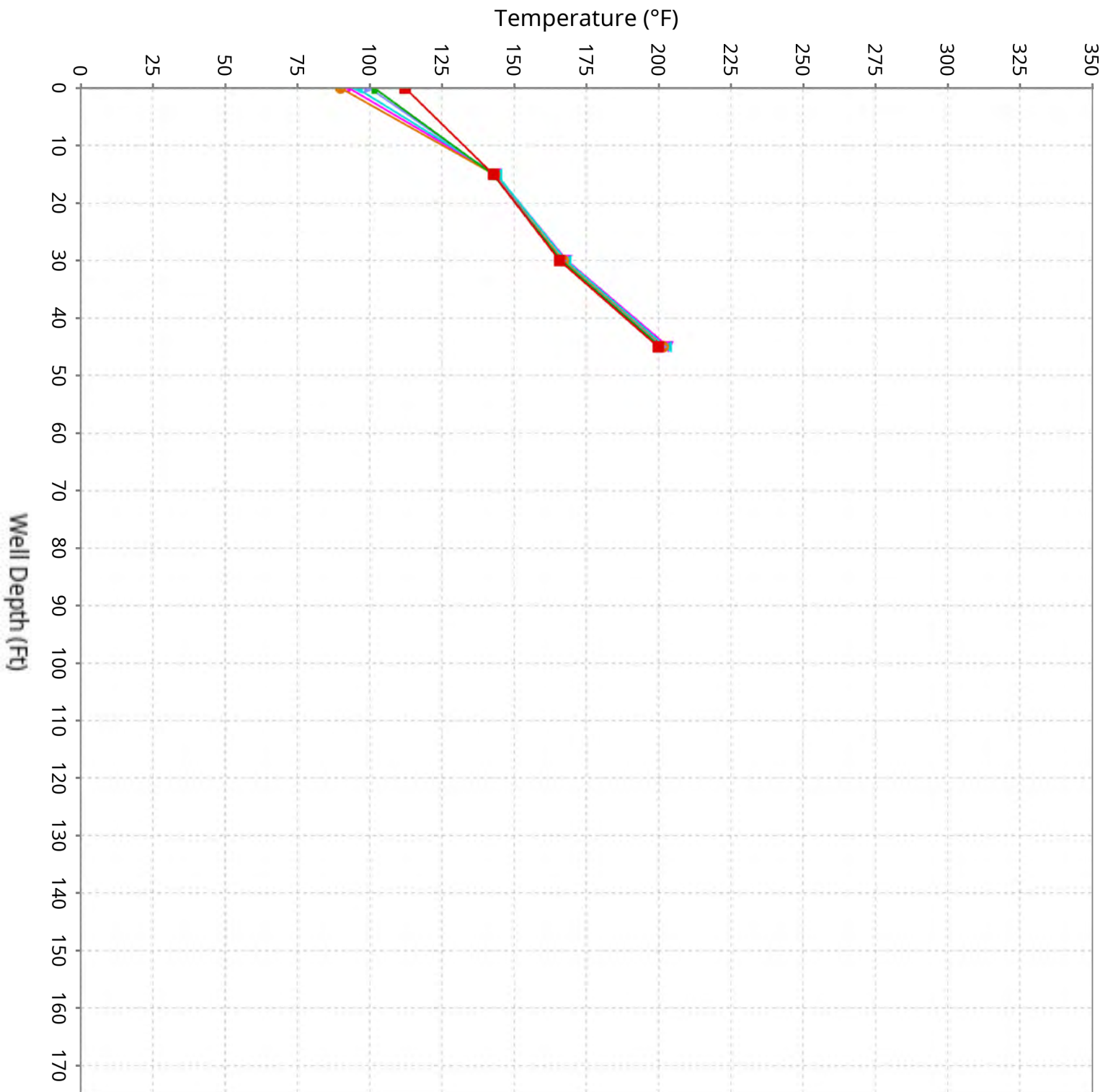
Vertical Temperature Profiles from Temperature Probes at Chiquita Landfill for TP-17

Maximum data for 3/19/2026 12:00 AM to 4/29/2026 11:59 PM



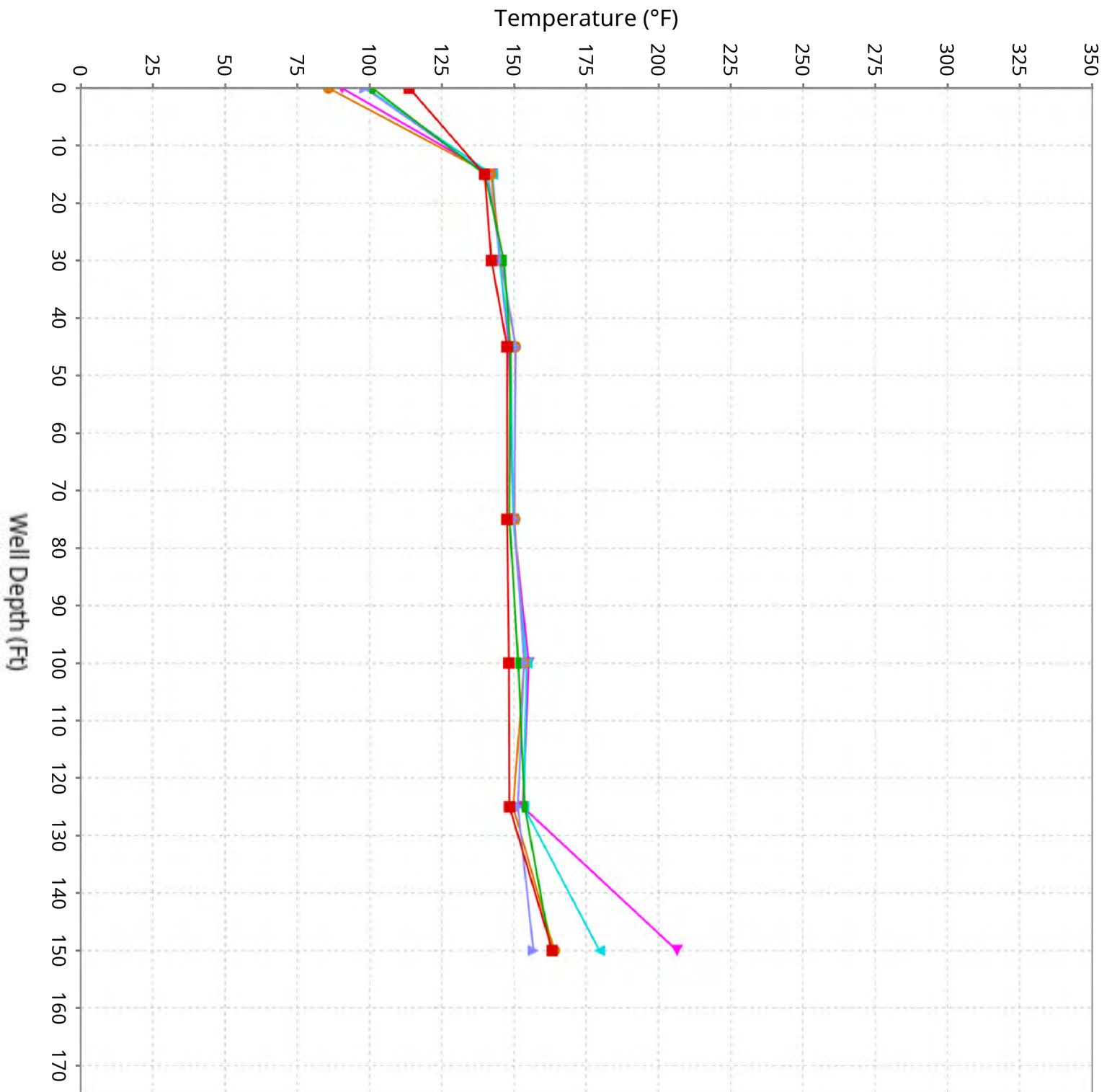
Vertical Temperature Profiles from Temperature Probes at Chiquita Landfill for TP-18

Maximum data for 3/19/2026 12:00 AM to 4/29/2026 11:59 PM



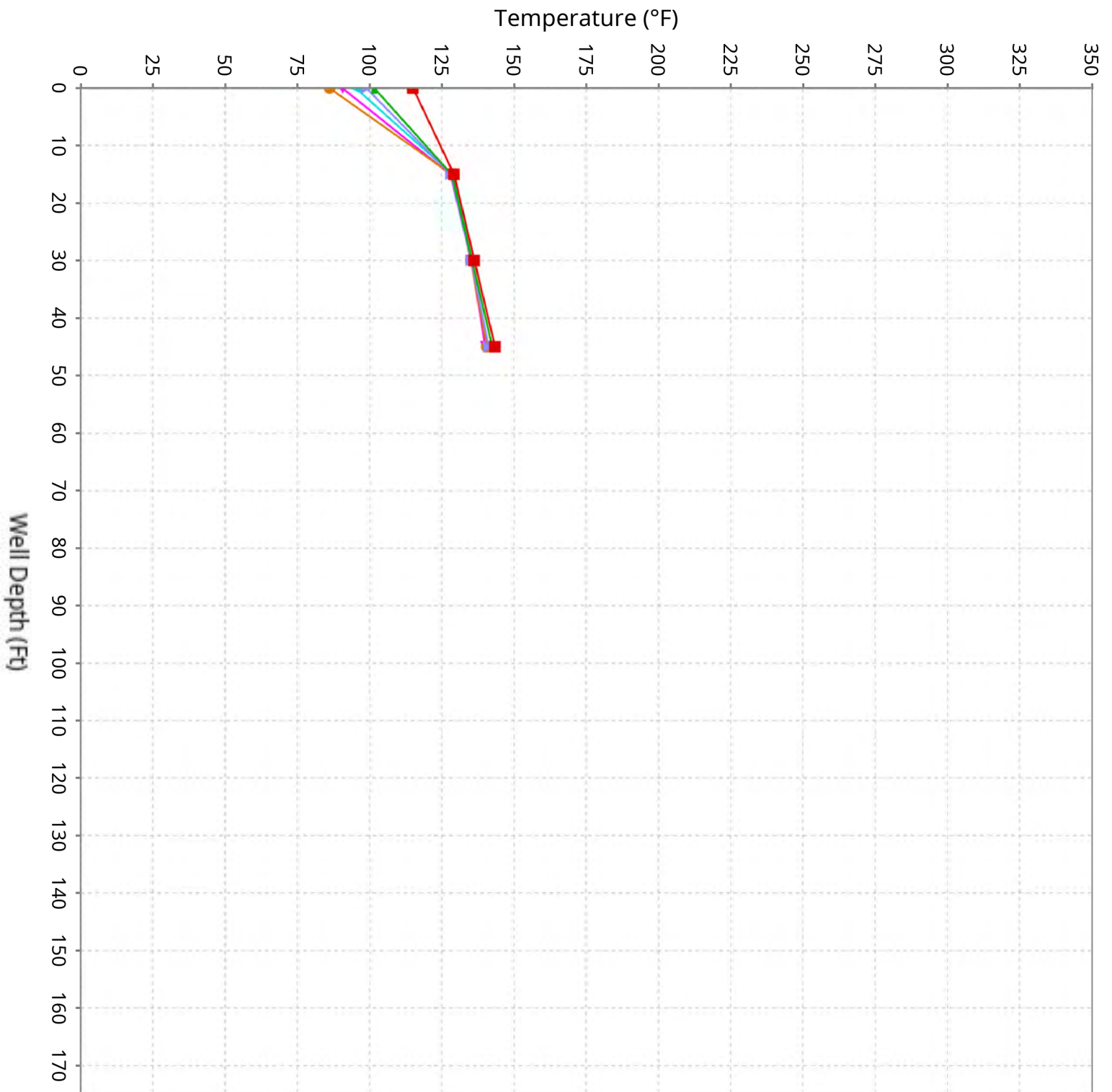
Vertical Temperature Profiles from Temperature Probes at Chiquita Landfill for TP-19

Maximum data for 3/19/2026 12:00 AM to 4/29/2026 11:59 PM



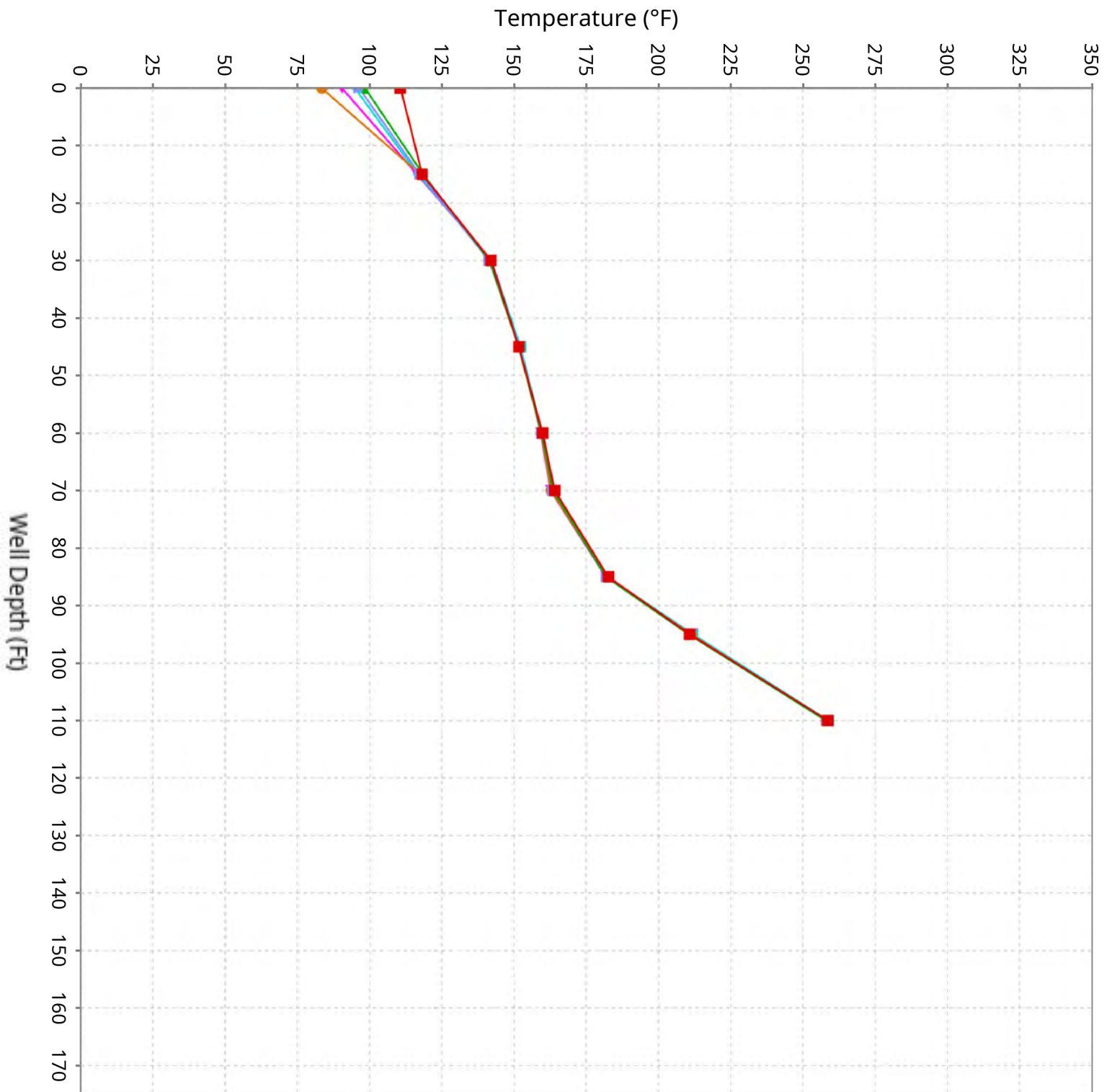
Vertical Temperature Profiles from Temperature Probes at Chiquita Landfill for TP-20

Maximum data for 3/19/2026 12:00 AM to 4/29/2026 11:59 PM



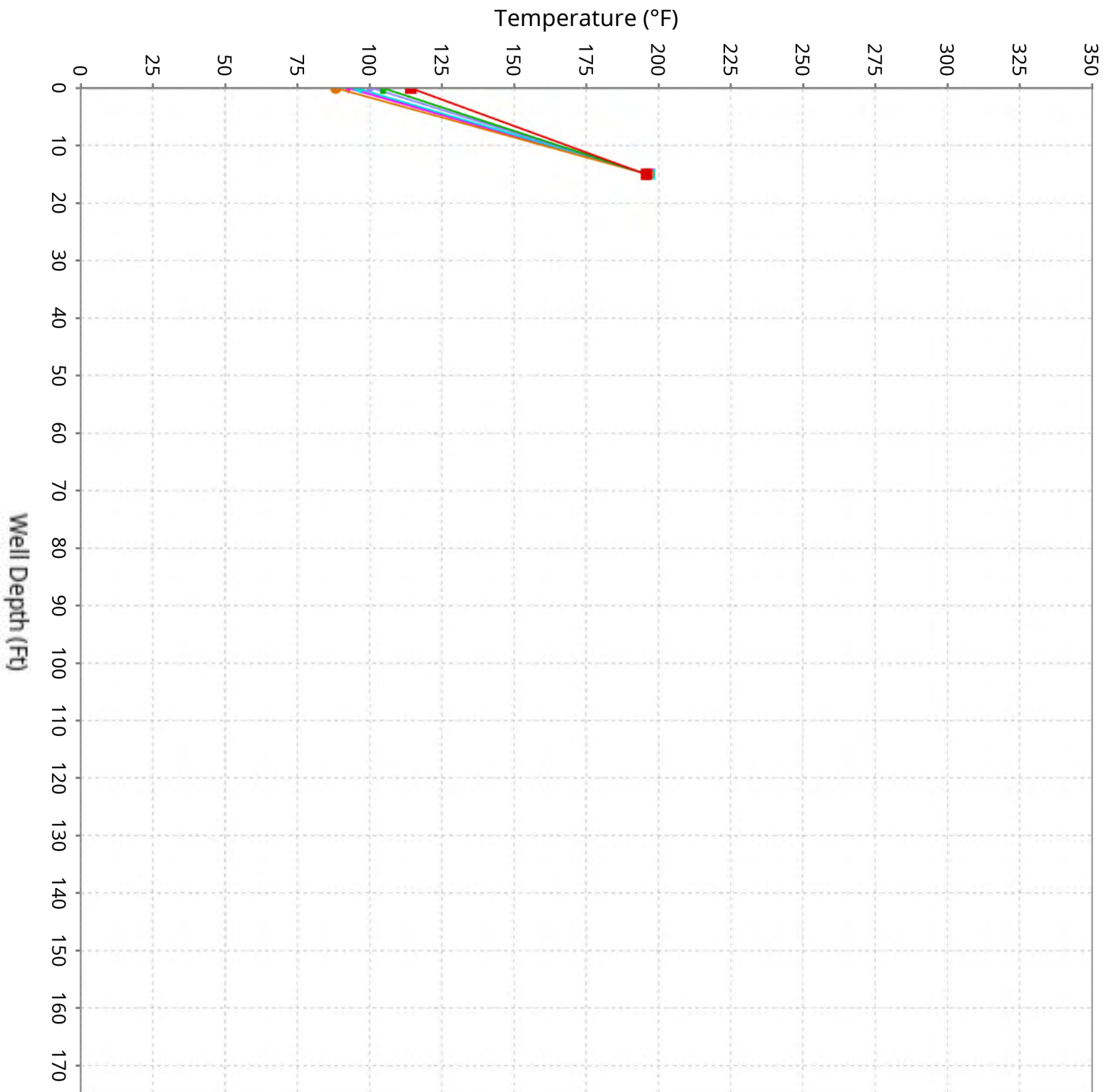
Vertical Temperature Profiles from Temperature Probes at Chiquita Landfill for TP-21

Maximum data for 3/19/2026 12:00 AM to 4/29/2026 11:59 PM



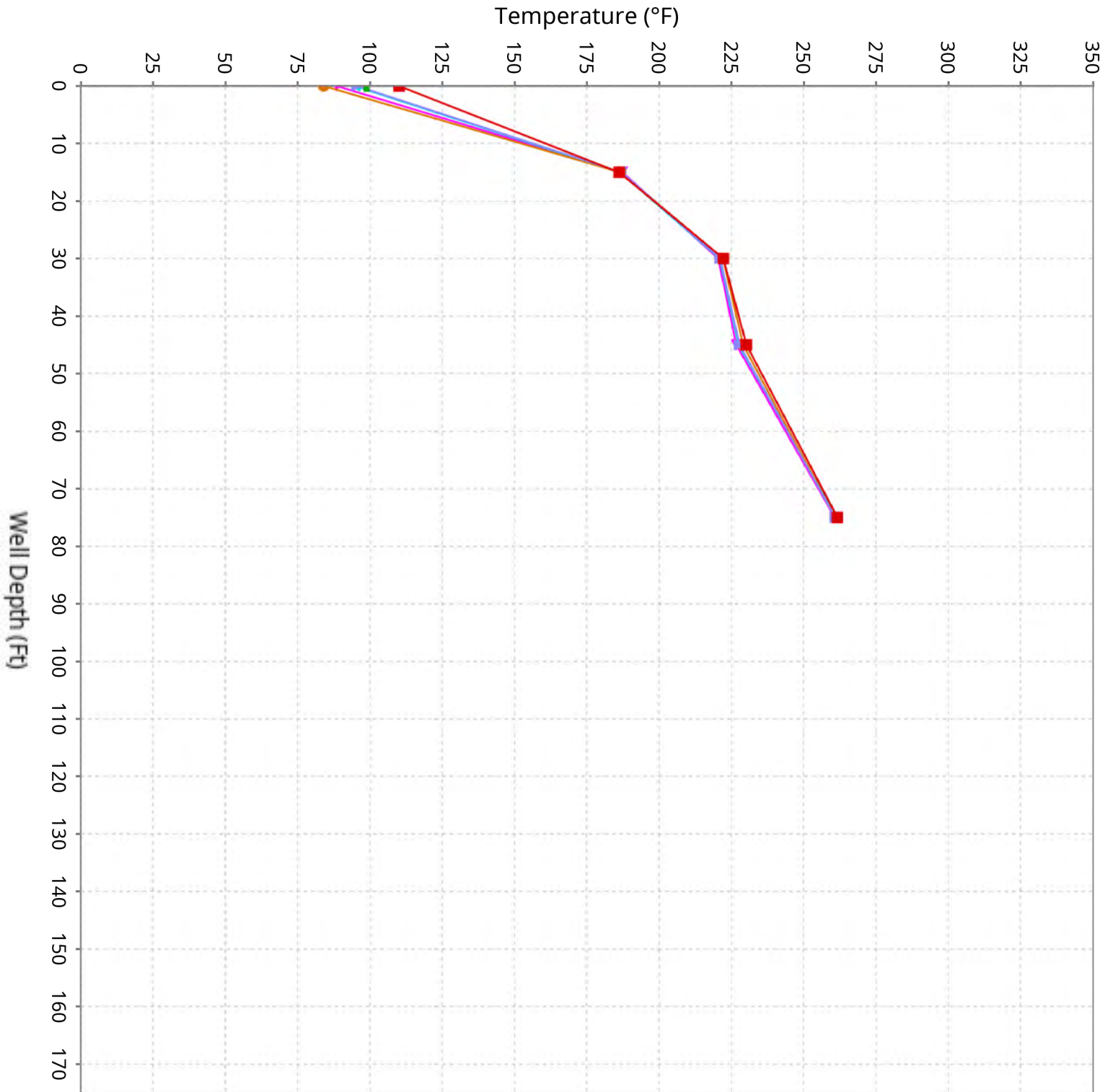
Vertical Temperature Profiles from Temperature Probes at Chiquita Landfill for TP-22

Maximum data for 3/19/2026 12:00 AM to 4/29/2026 11:59 PM



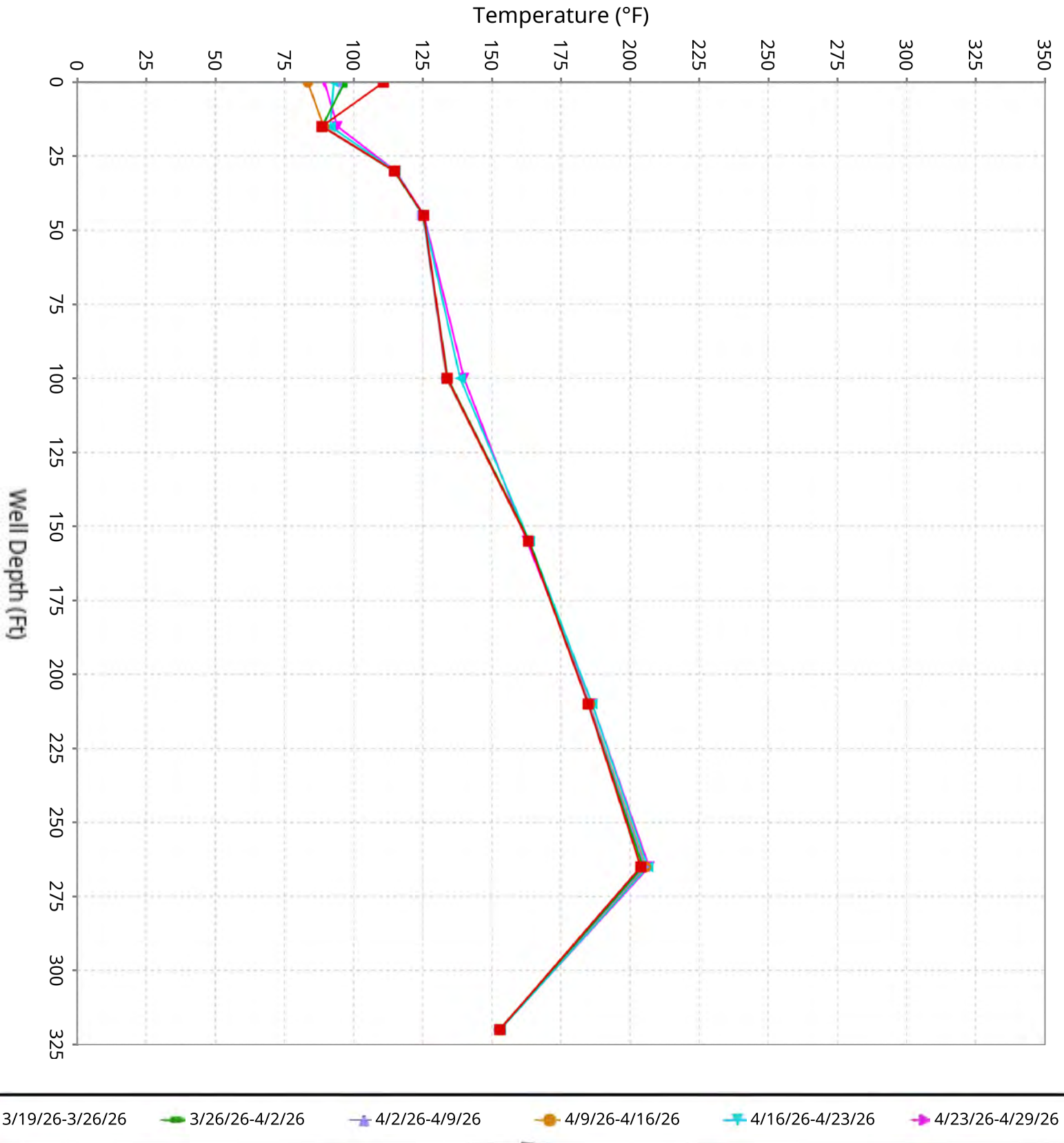
Vertical Temperature Profiles from Temperature Probes at Chiquita Landfill for TP-23

Maximum data for 3/19/2026 12:00 AM to 4/29/2026 11:59 PM



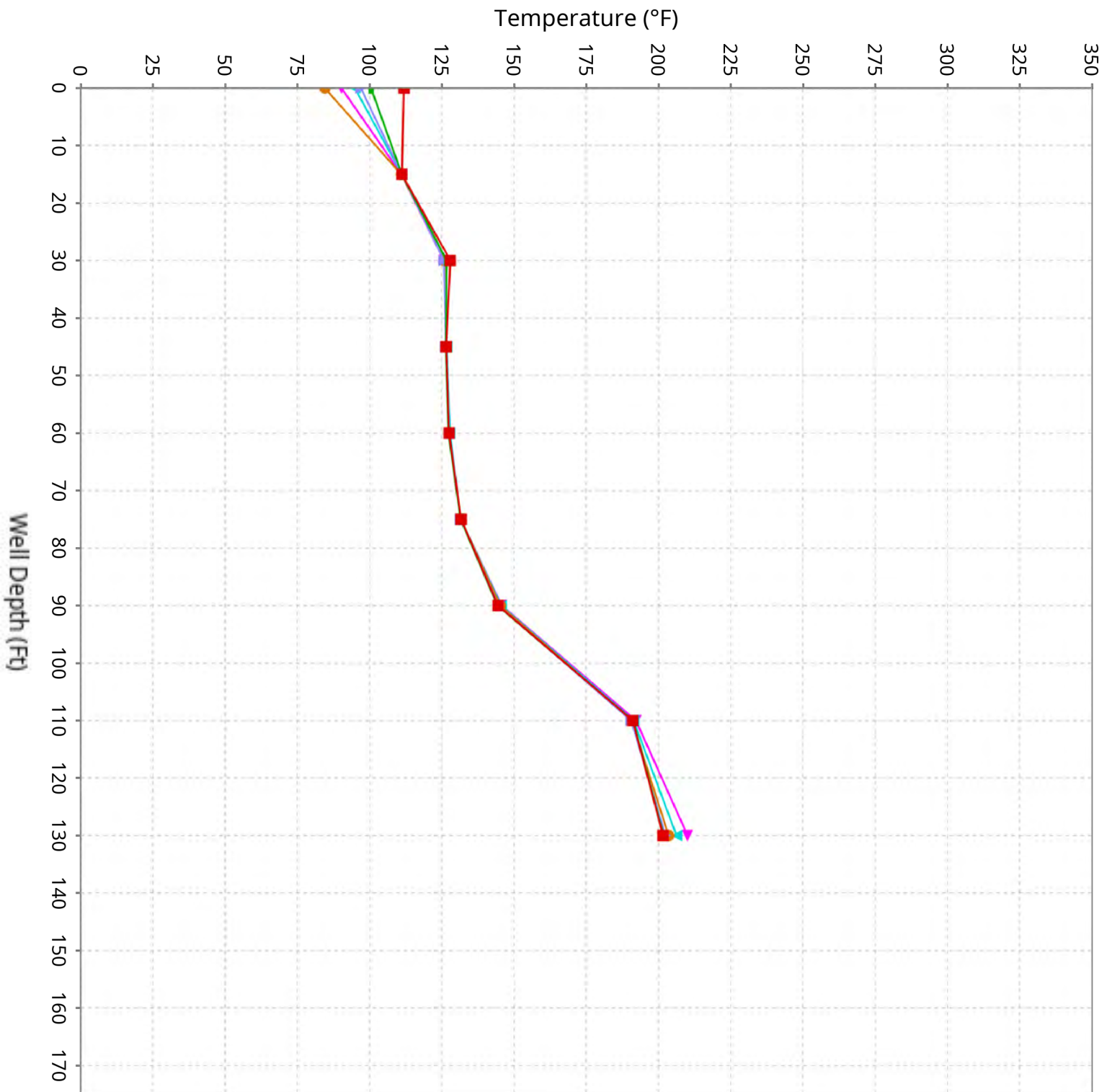
Vertical Temperature Profiles from Temperature Probes at Chiquita Landfill for TP-24

Maximum data for 3/19/2026 12:00 AM to 4/29/2026 11:59 PM



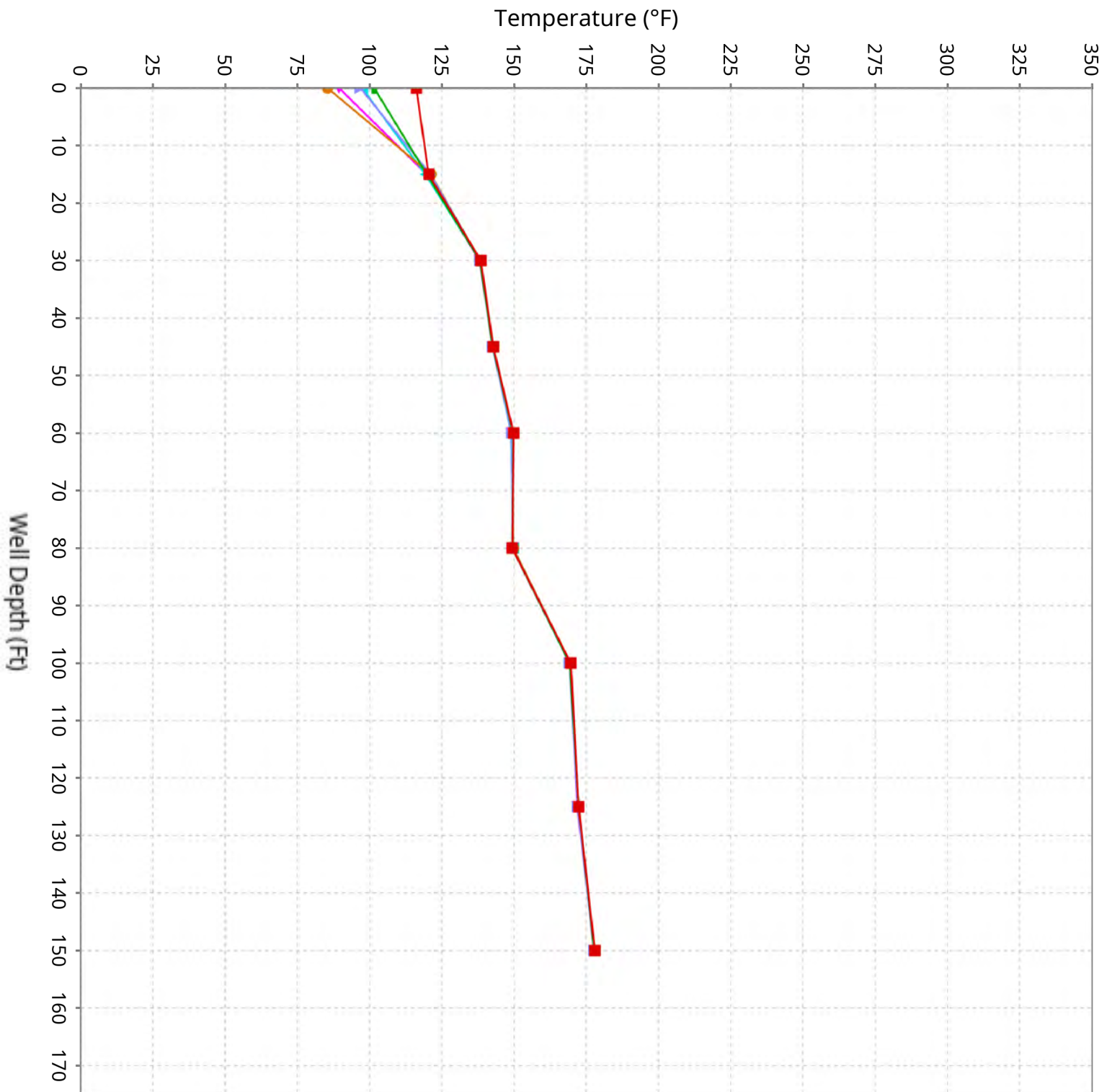
Vertical Temperature Profiles from Temperature Probes at Chiquita Landfill for TP-25

Maximum data for 3/19/2026 12:00 AM to 4/29/2026 11:59 PM



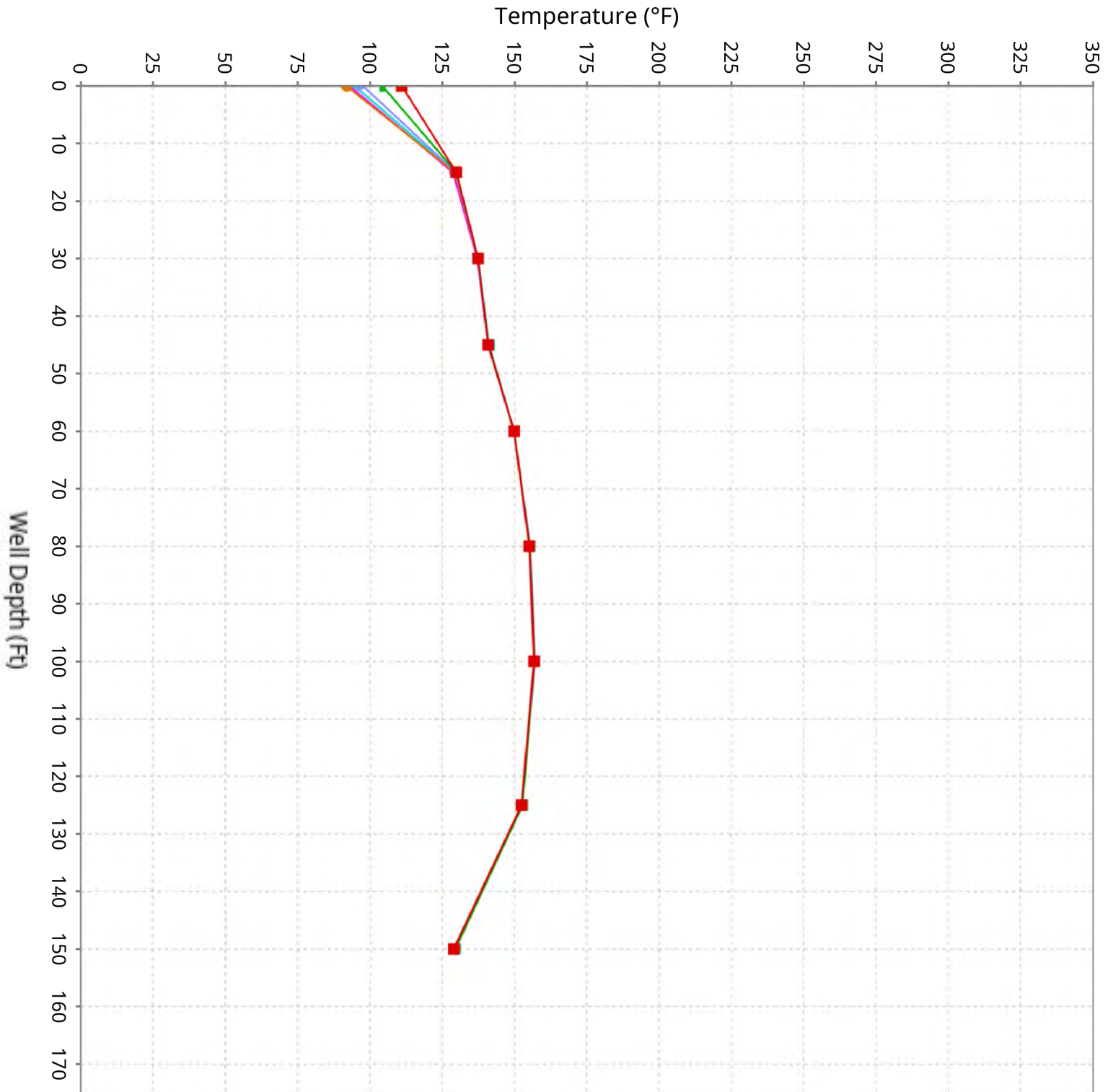
Vertical Temperature Profiles from Temperature Probes at Chiquita Landfill for TP-26

Maximum data for 3/19/2026 12:00 AM to 4/29/2026 11:59 PM



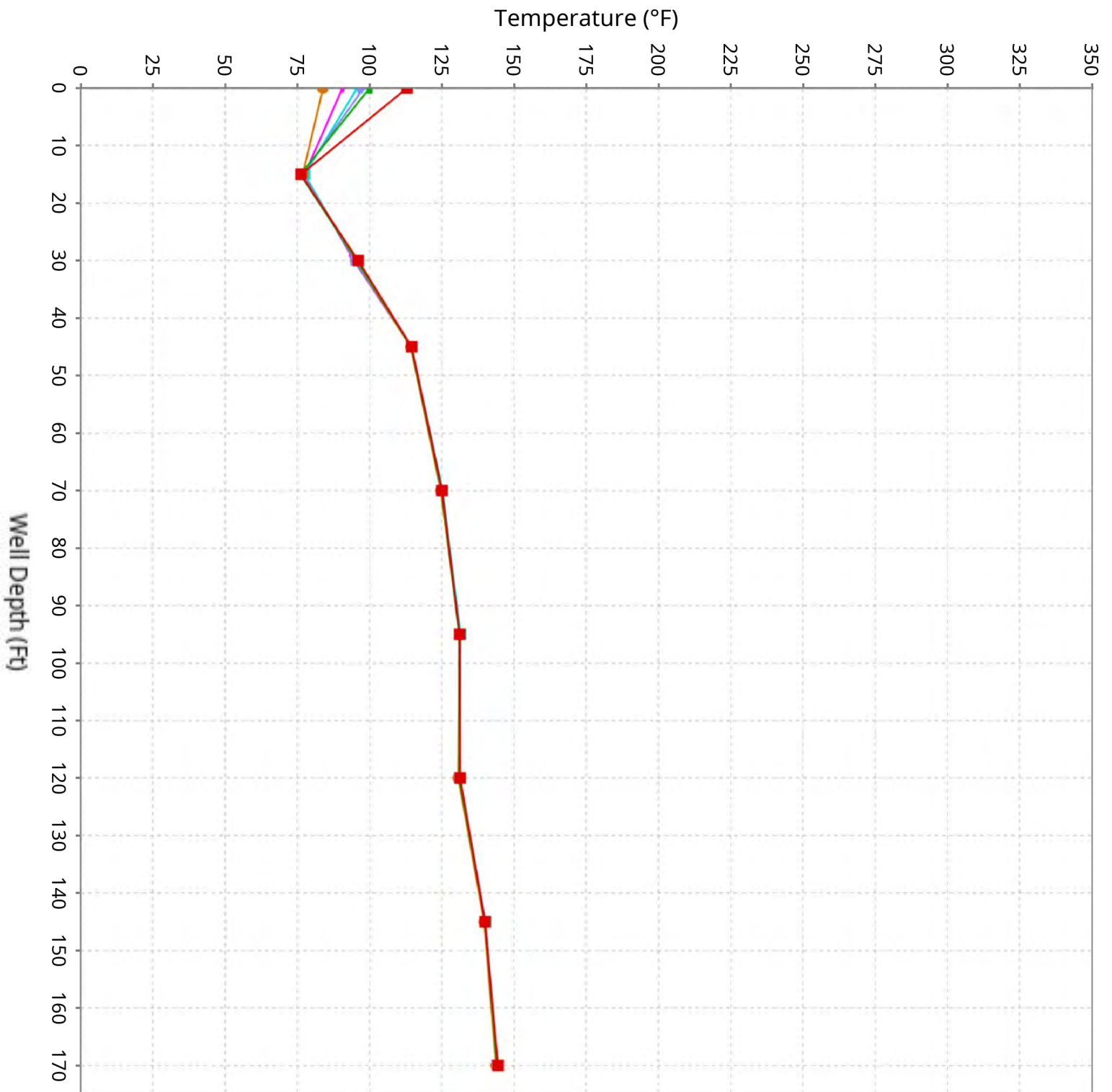
Vertical Temperature Profiles from Temperature Probes at Chiquita Landfill for TP-27

Maximum data for 3/19/2026 12:00 AM to 4/29/2026 11:59 PM



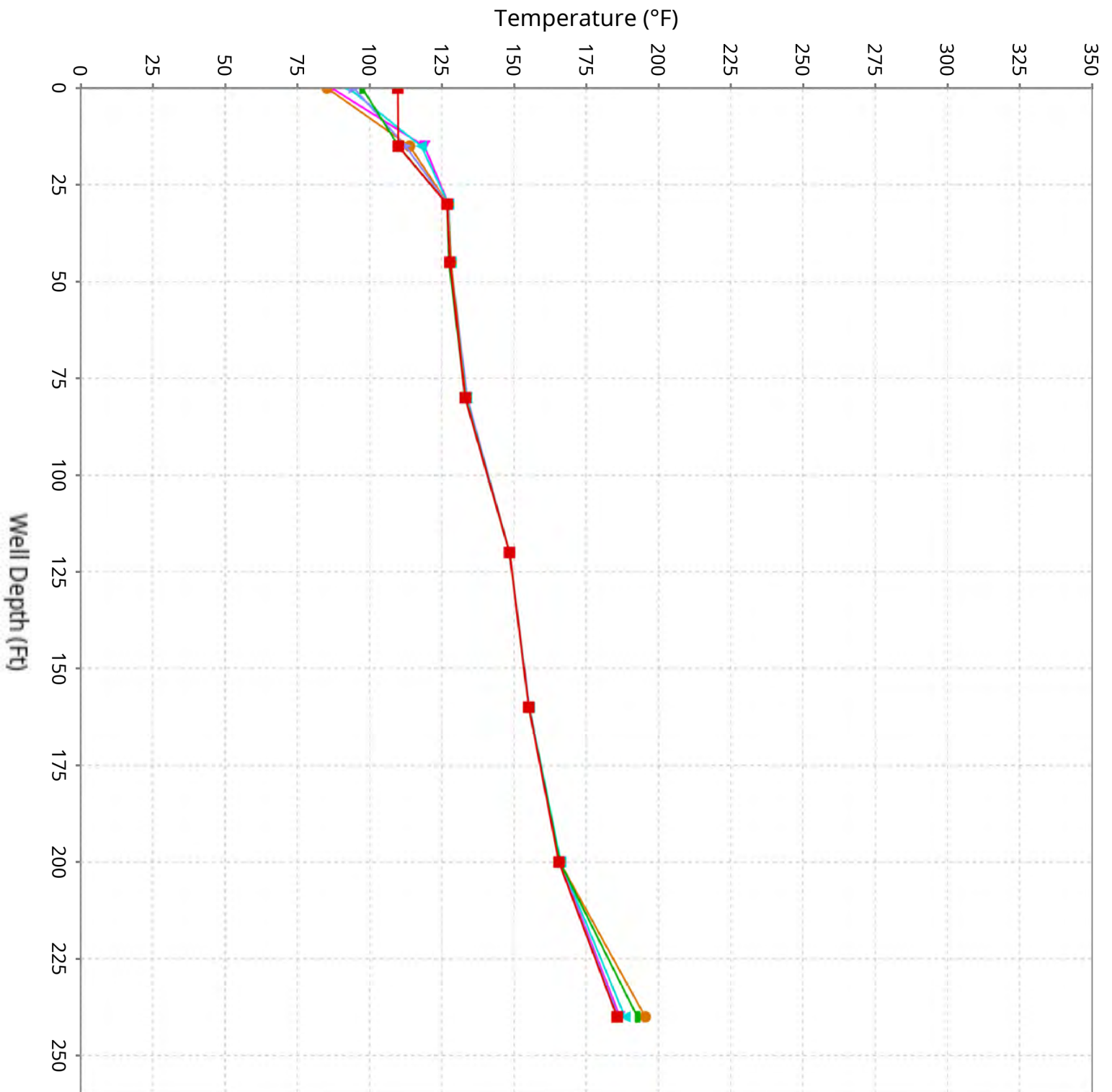
Vertical Temperature Profiles from Temperature Probes at Chiquita Landfill for TP-28

Maximum data for 3/19/2026 12:00 AM to 4/29/2026 11:59 PM



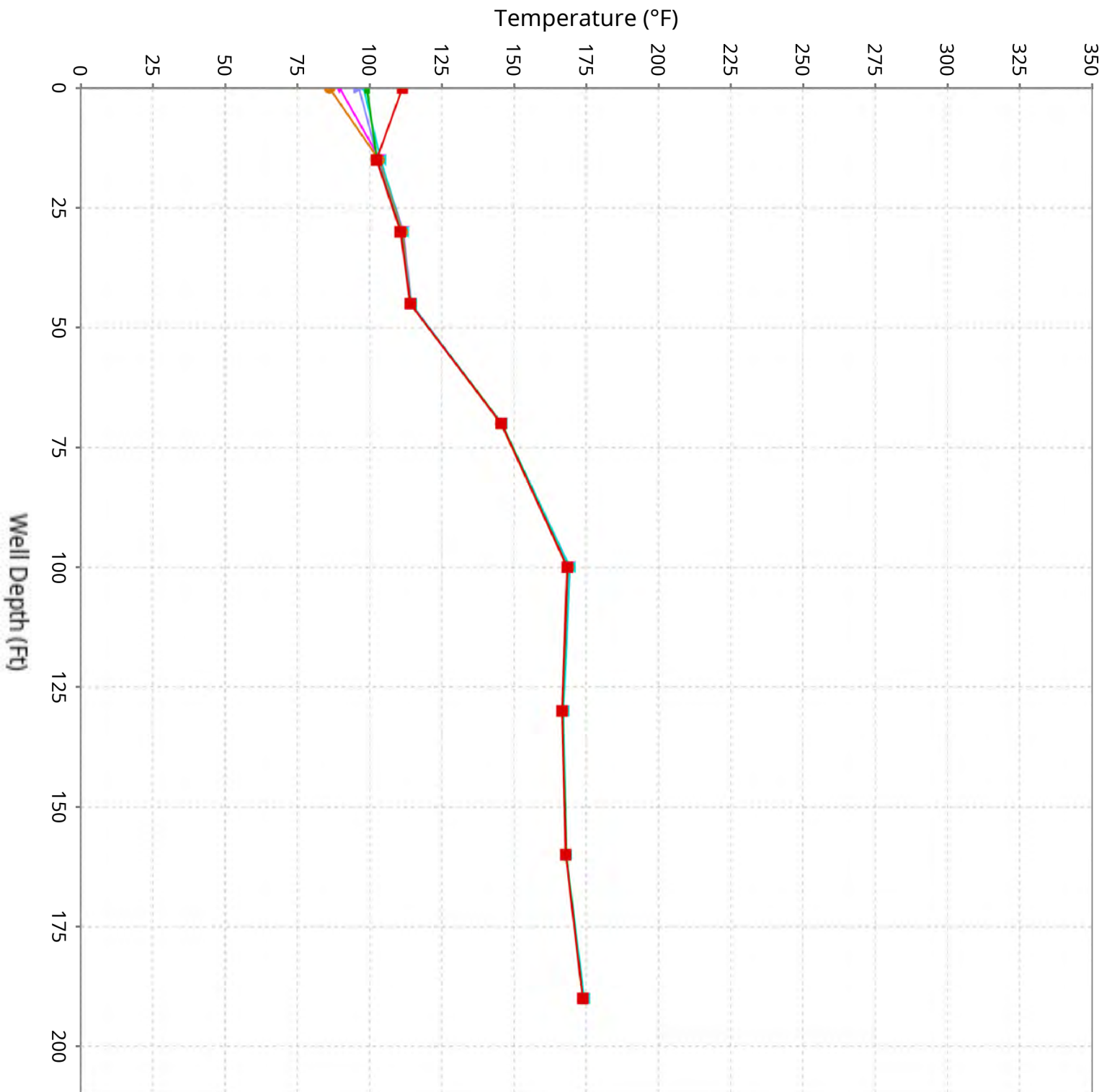
Vertical Temperature Profiles from Temperature Probes at Chiquita Landfill for TP-29

Maximum data for 3/19/2026 12:00 AM to 4/29/2026 11:59 PM



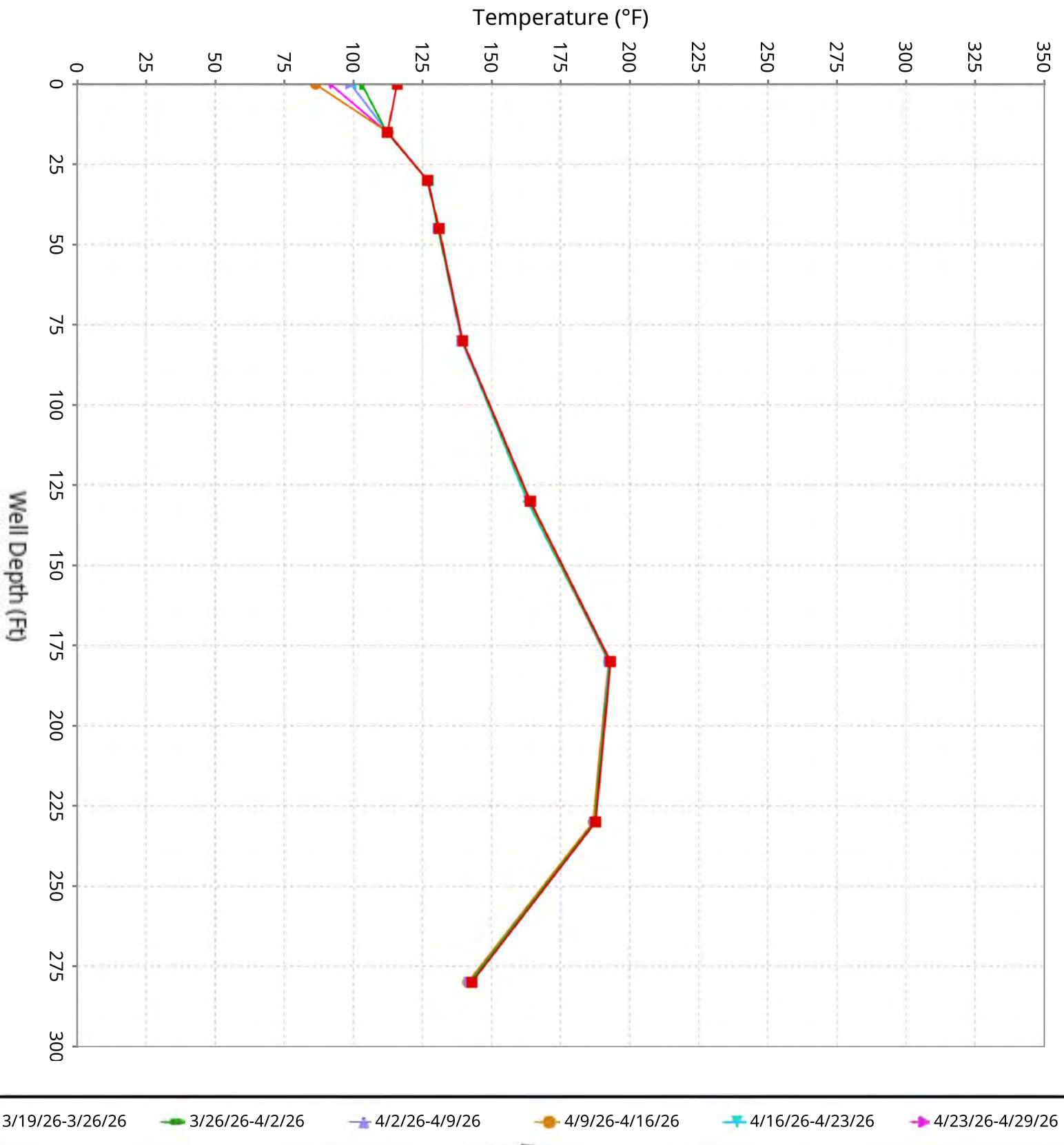
Vertical Temperature Profiles from Temperature Probes at Chiquita Landfill for TP-30

Maximum data for 3/19/2026 12:00 AM to 4/29/2026 11:59 PM



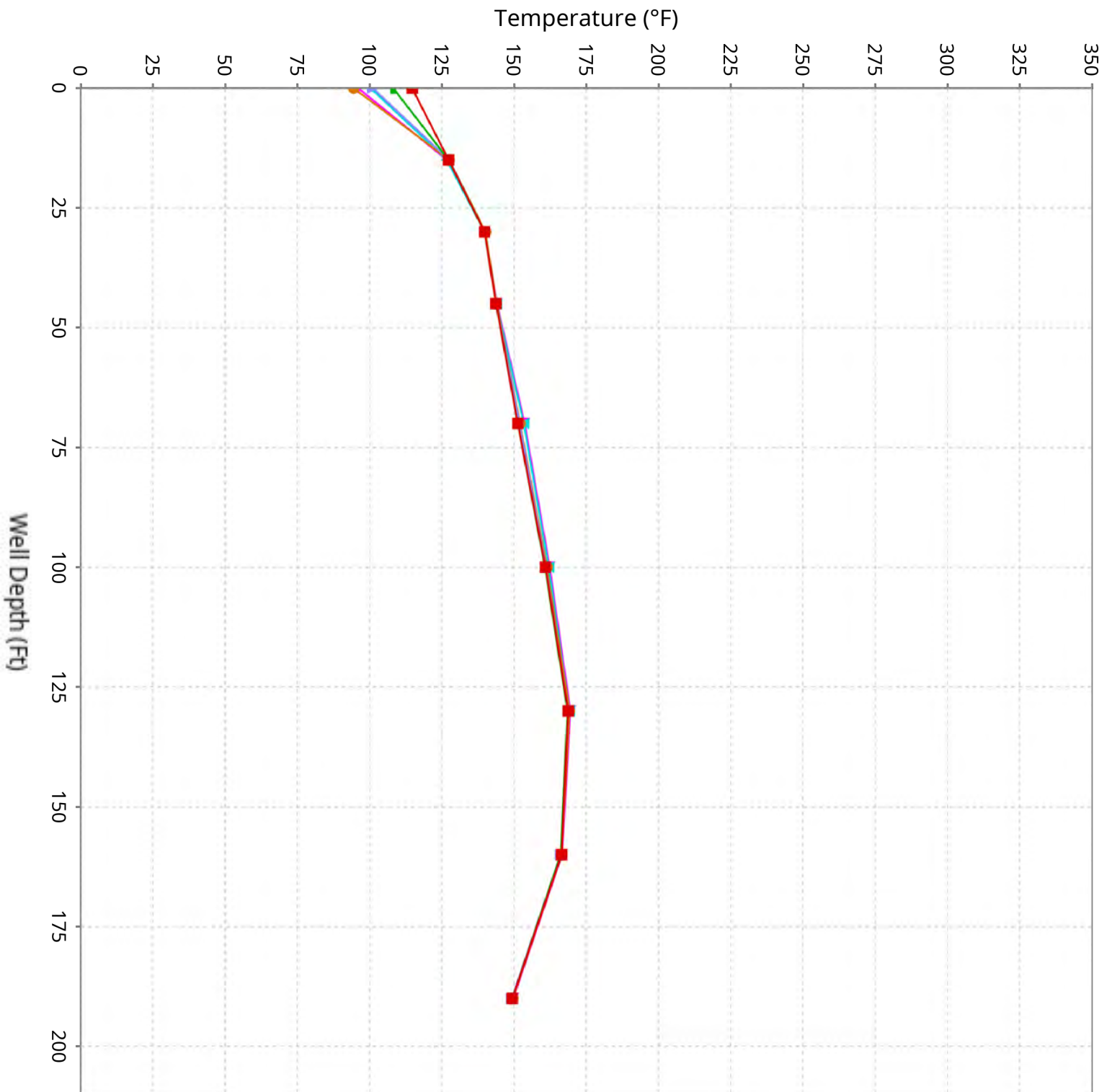
Vertical Temperature Profiles from Temperature Probes at Chiquita Landfill for TP-31

Maximum data for 3/19/2026 12:00 AM to 4/29/2026 11:59 PM



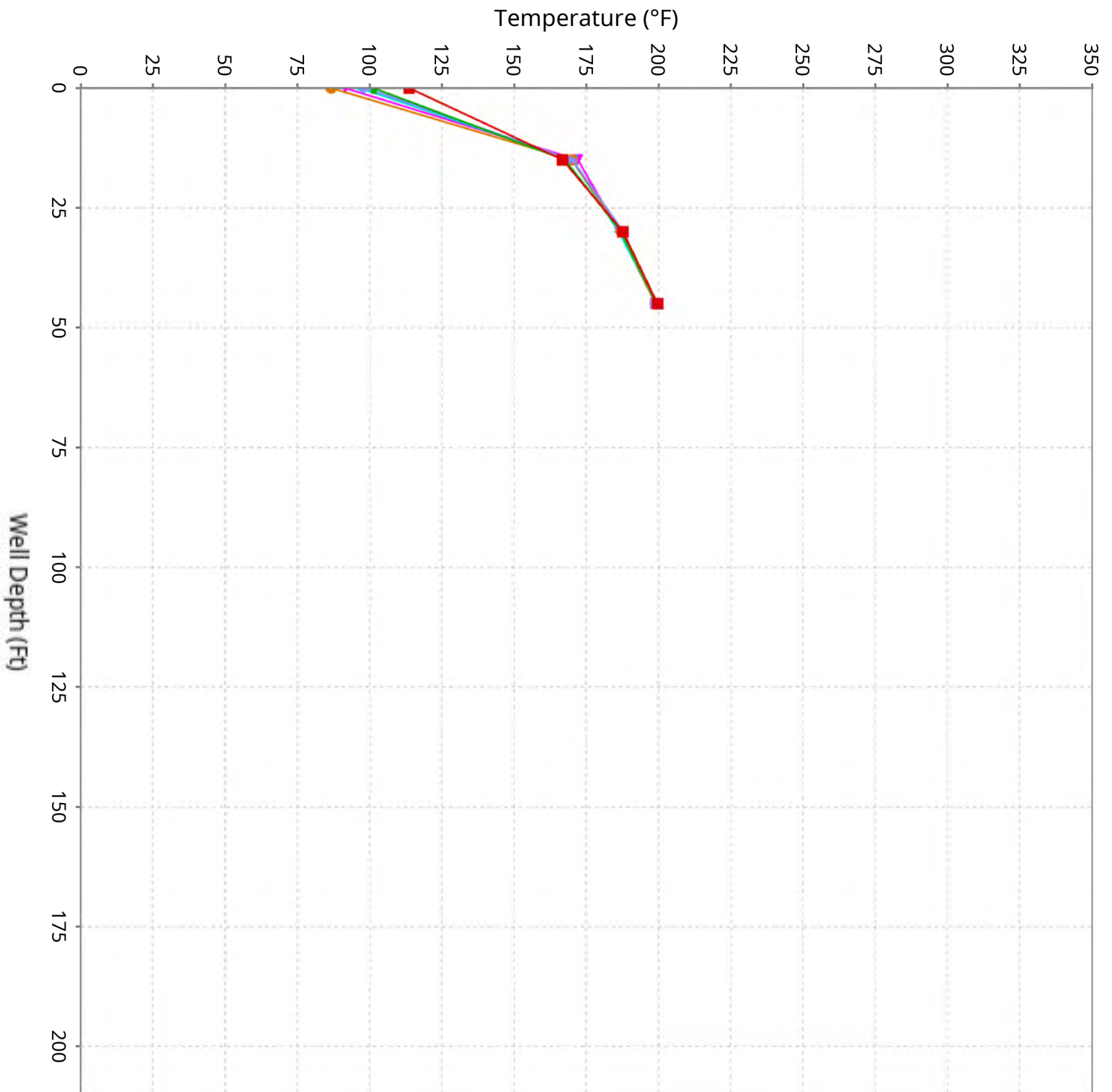
Vertical Temperature Profiles from Temperature Probes at Chiquita Landfill for TP-32

Maximum data for 3/19/2026 12:00 AM to 4/29/2026 11:59 PM



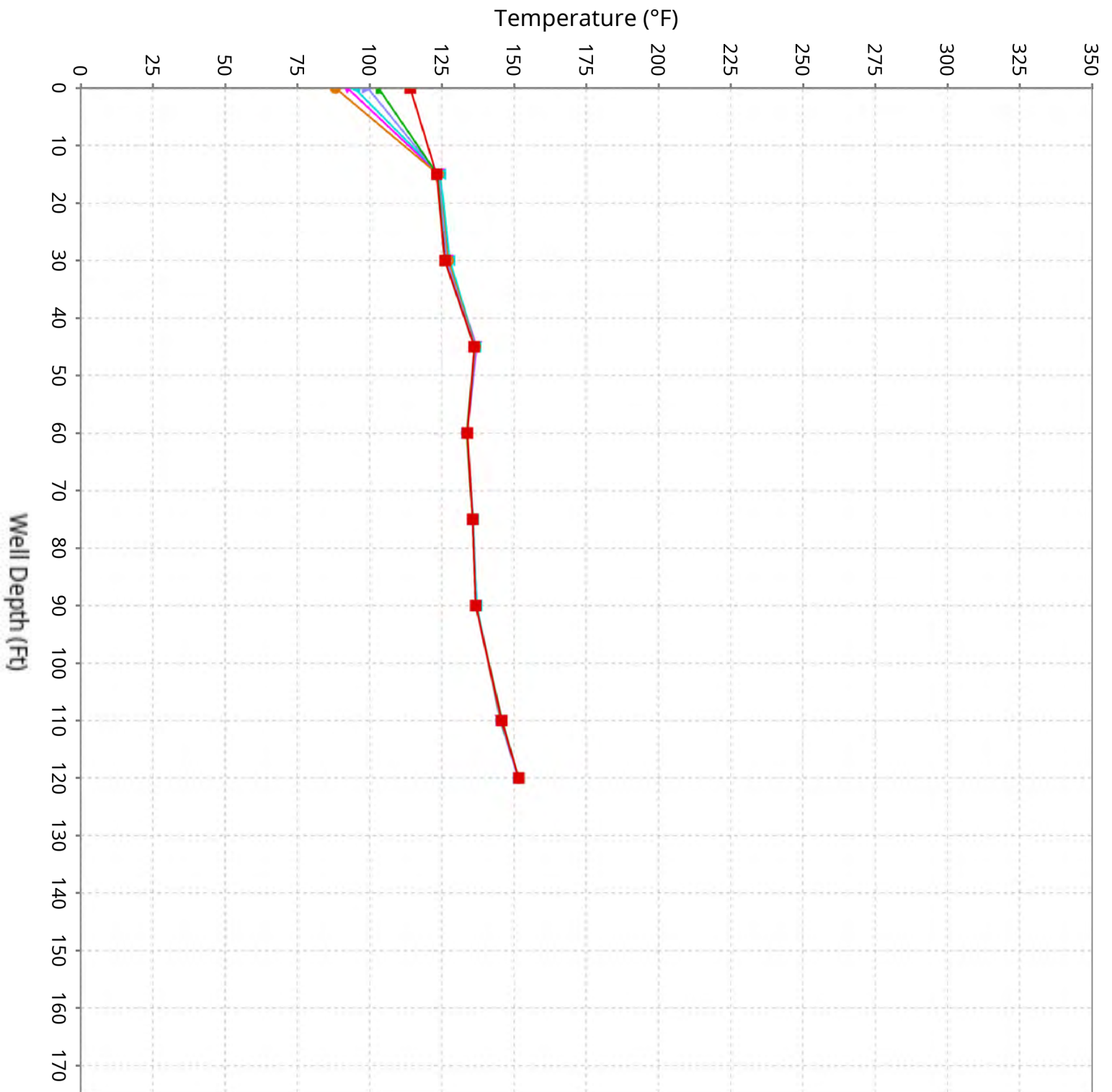
Vertical Temperature Profiles from Temperature Probes at Chiquita Landfill for TP-33

Maximum data for 3/19/2026 12:00 AM to 4/29/2026 11:59 PM



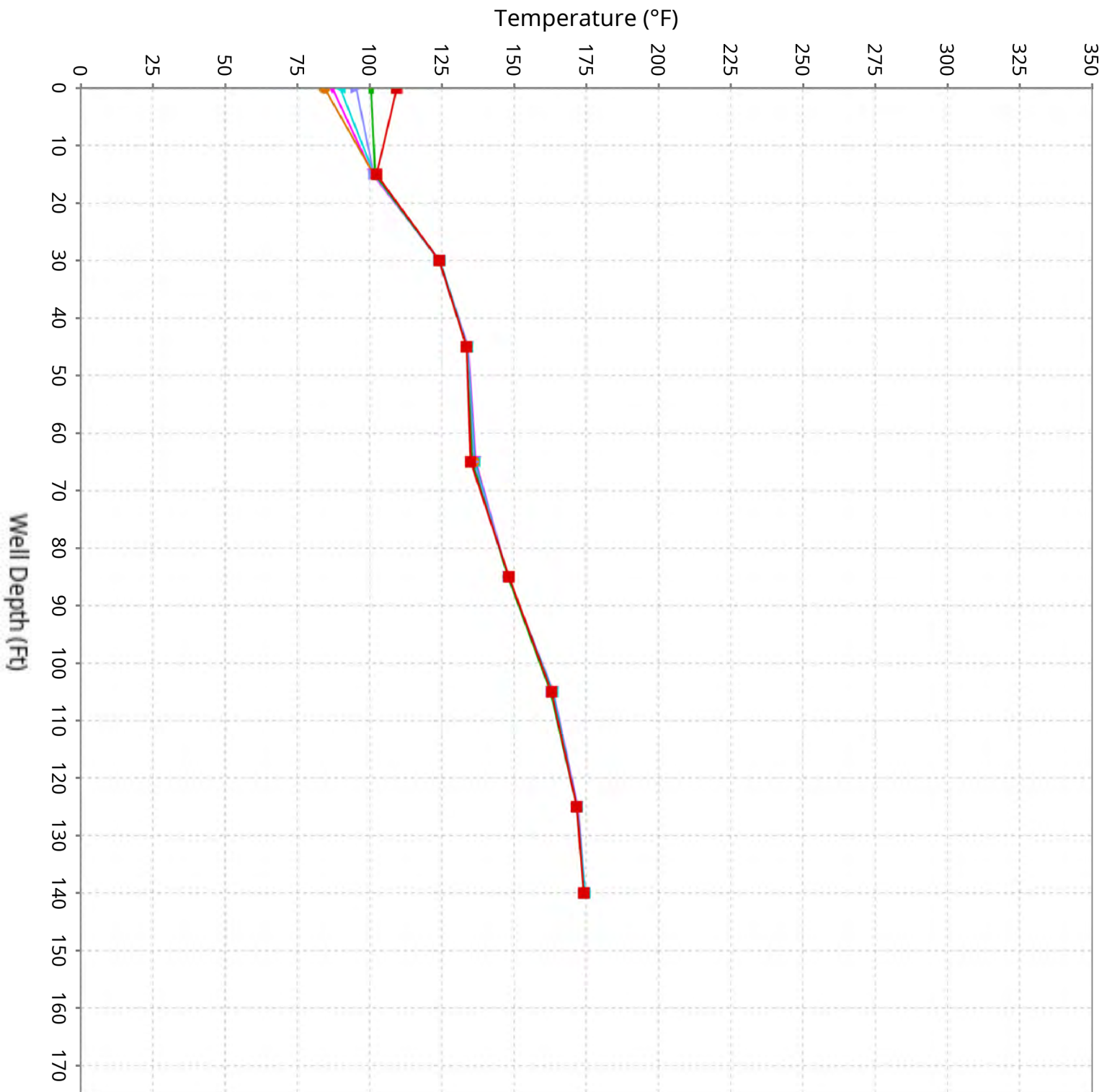
Vertical Temperature Profiles from Temperature Probes at Chiquita Landfill for TP-34

Maximum data for 3/19/2026 12:00 AM to 4/29/2026 11:59 PM



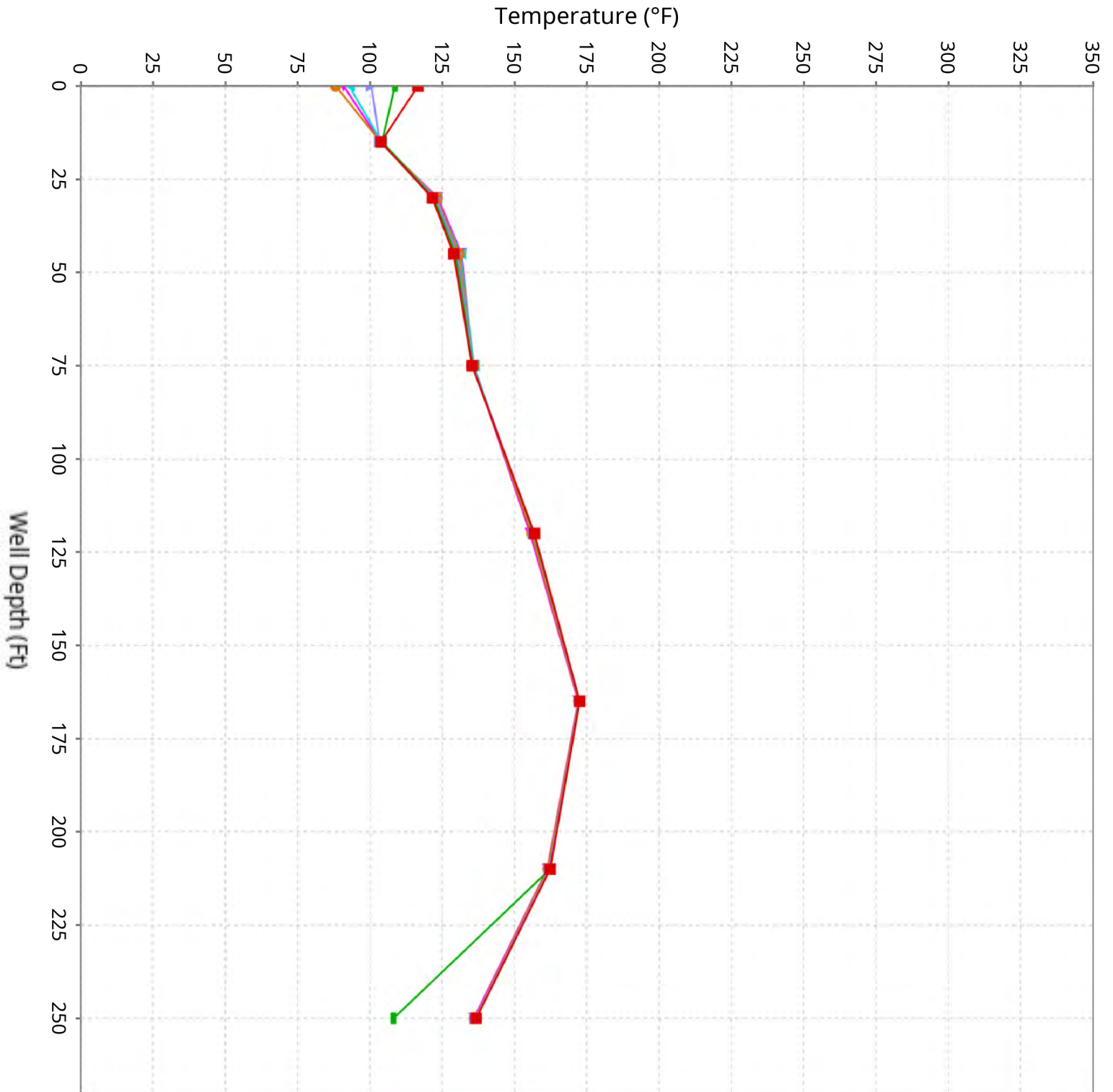
Vertical Temperature Profiles from Temperature Probes at Chiquita Landfill for TP-35

Maximum data for 3/19/2026 12:00 AM to 4/29/2026 11:59 PM



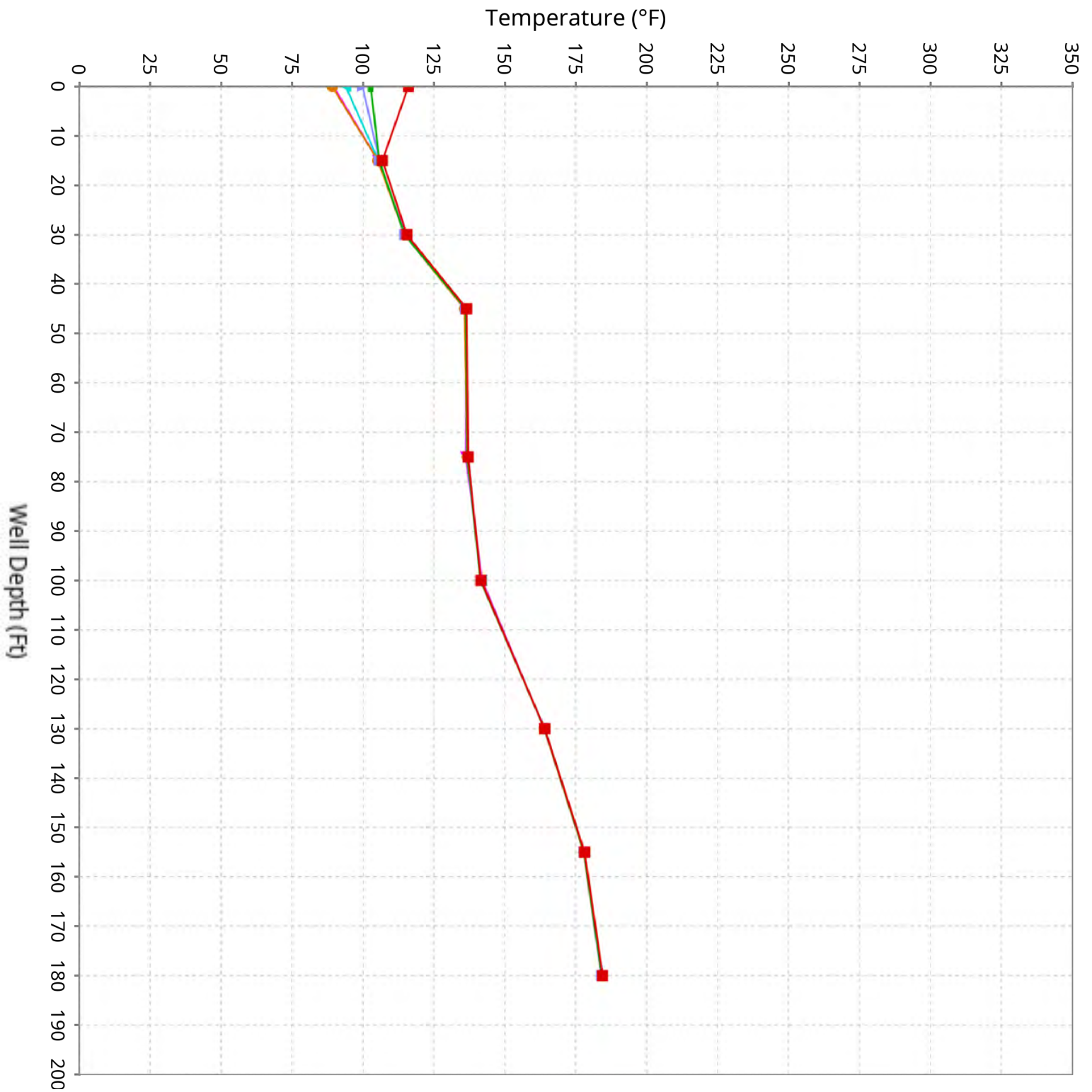
Vertical Temperature Profiles from Temperature Probes at Chiquita Landfill for TP-36

Maximum data for 3/19/2026 12:00 AM to 4/29/2026 11:59 PM



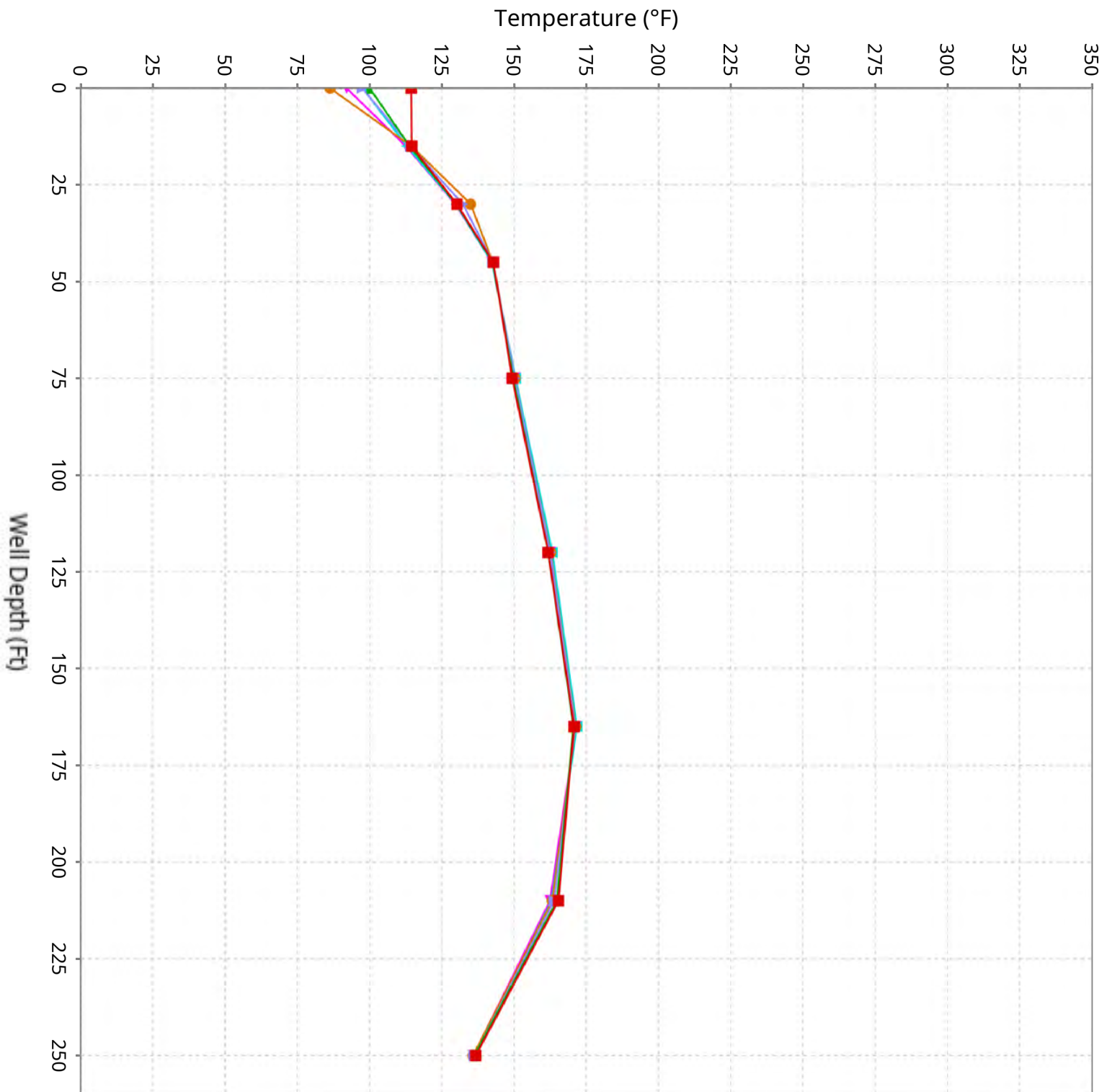
Vertical Temperature Profiles from Temperature Probes at Chiquita Landfill for TP-37

Maximum data for 3/19/2026 12:00 AM to 4/29/2026 11:59 PM



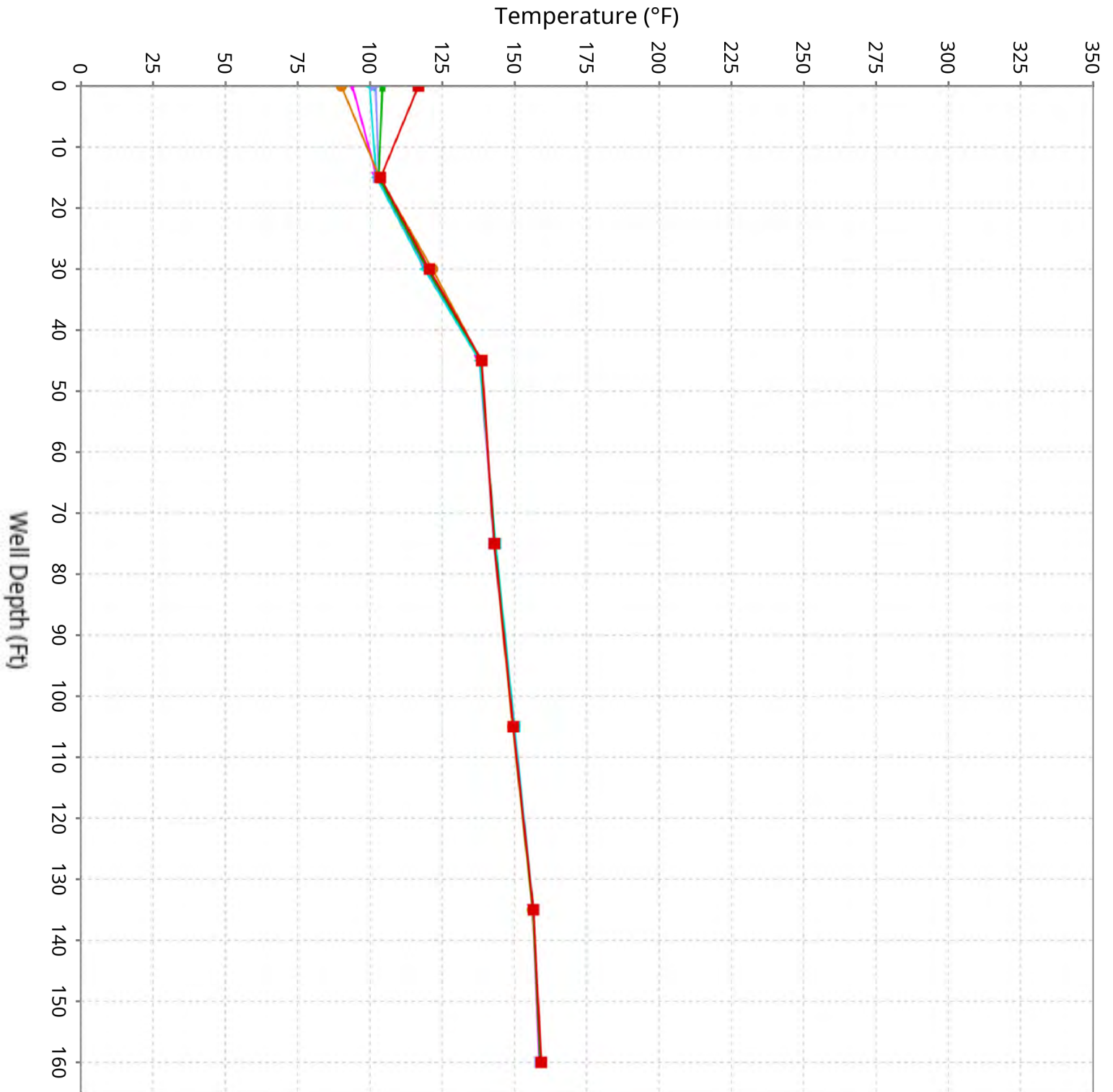
Vertical Temperature Profiles from Temperature Probes at Chiquita Landfill for TP-38

Maximum data for 3/19/2026 12:00 AM to 4/29/2026 11:59 PM



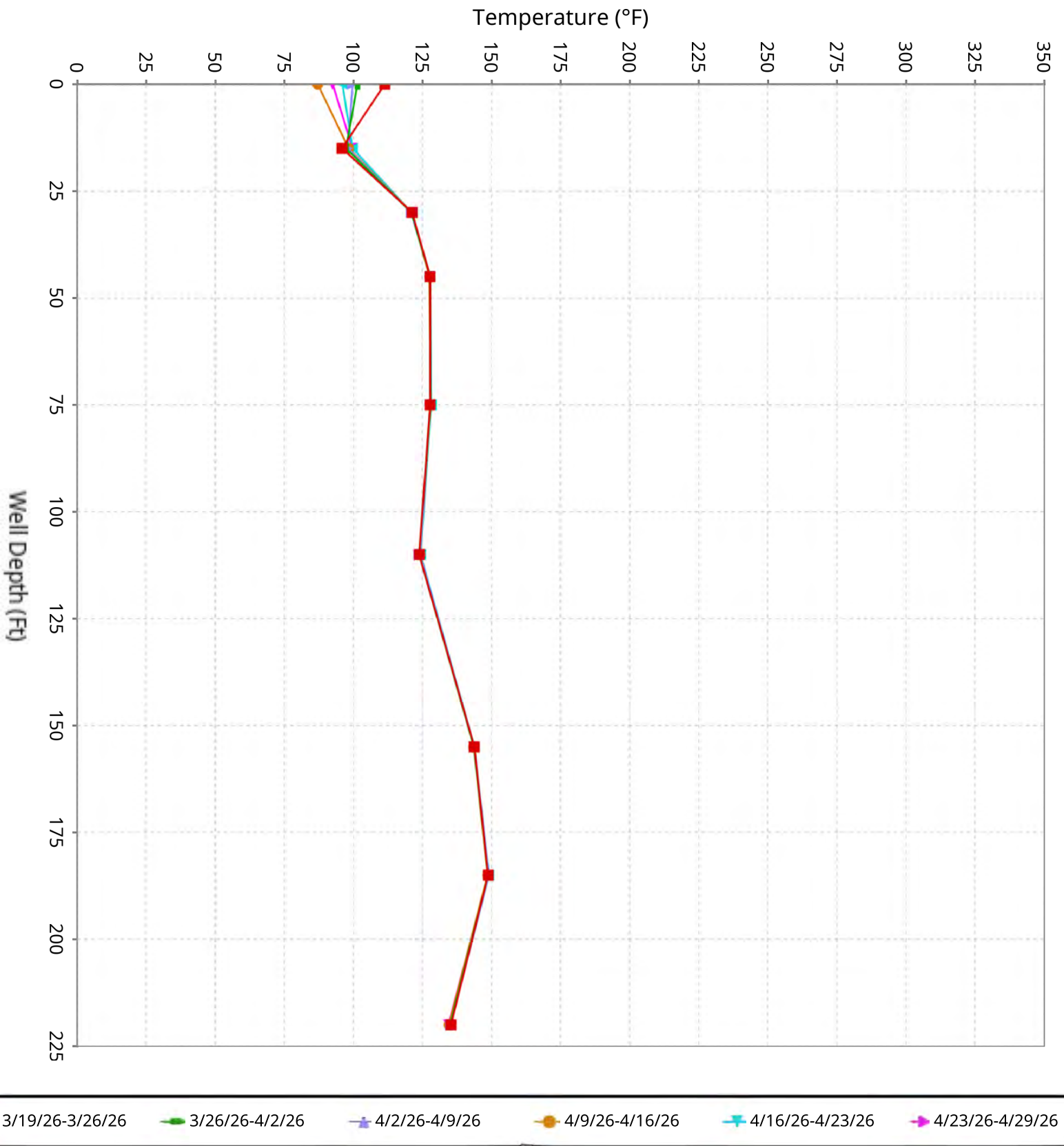
Vertical Temperature Profiles from Temperature Probes at Chiquita Landfill for TP-39

Maximum data for 3/19/2026 12:00 AM to 4/29/2026 11:59 PM

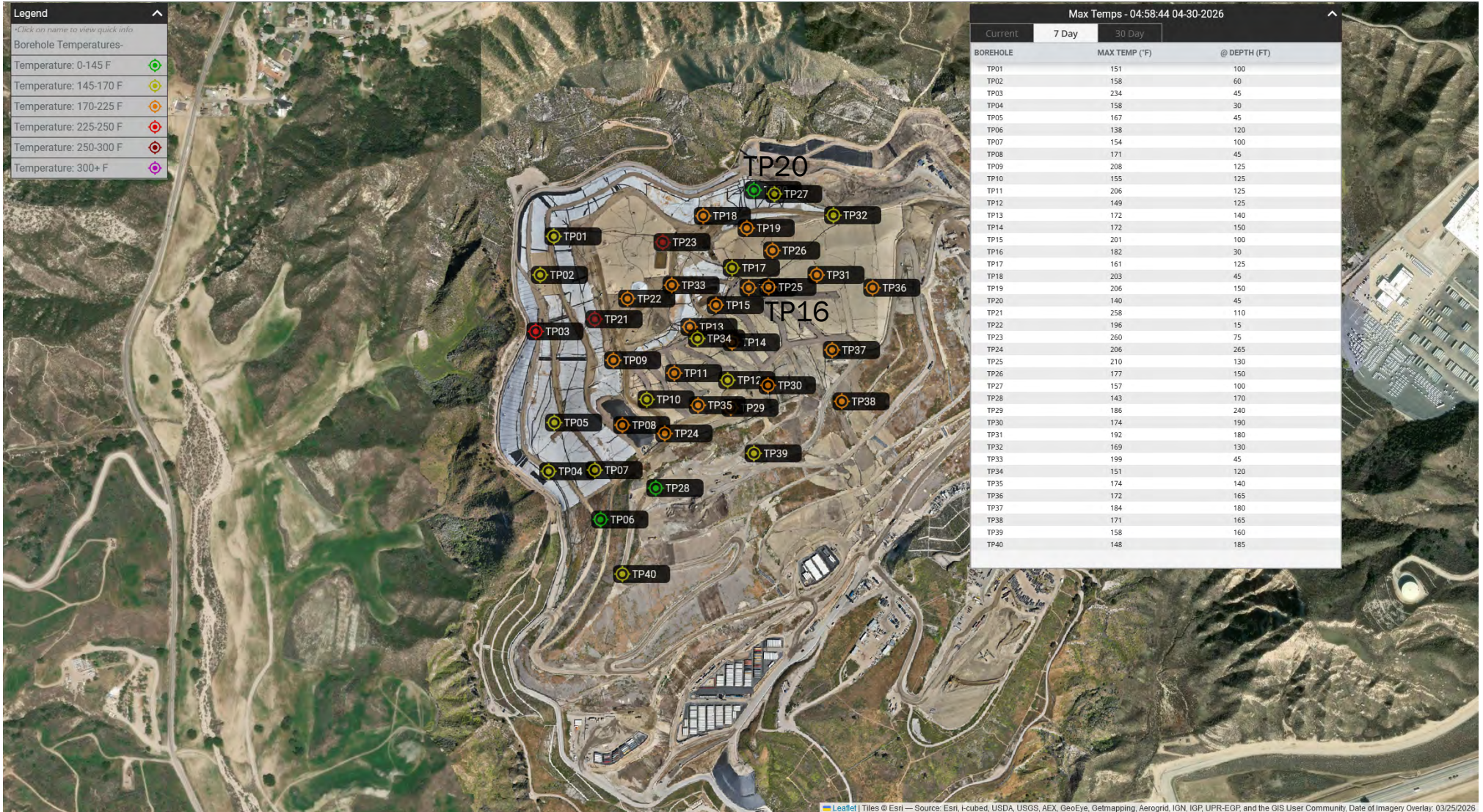


Vertical Temperature Profiles from Temperature Probes at Chiquita Landfill for TP-40

Maximum data for 3/19/2026 12:00 AM to 4/29/2026 11:59 PM

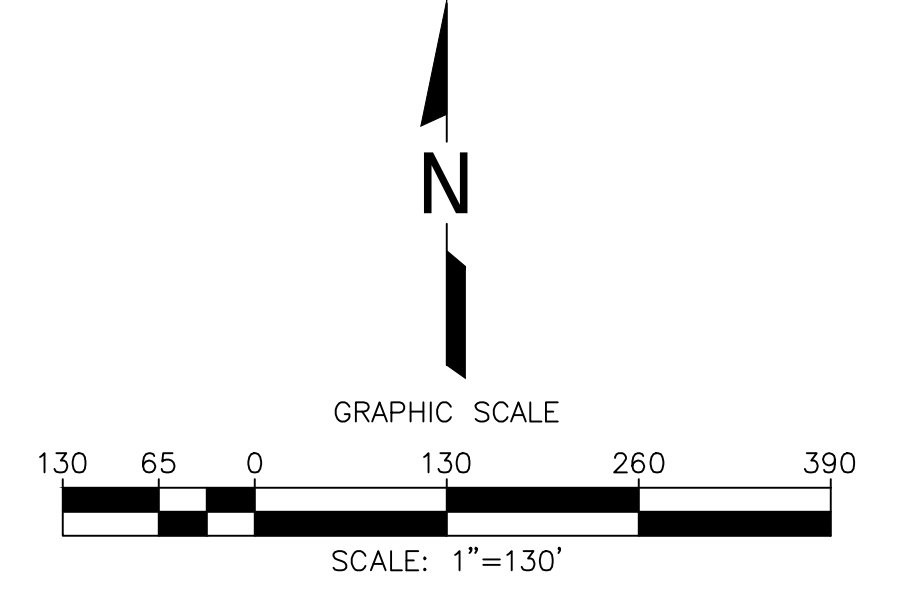
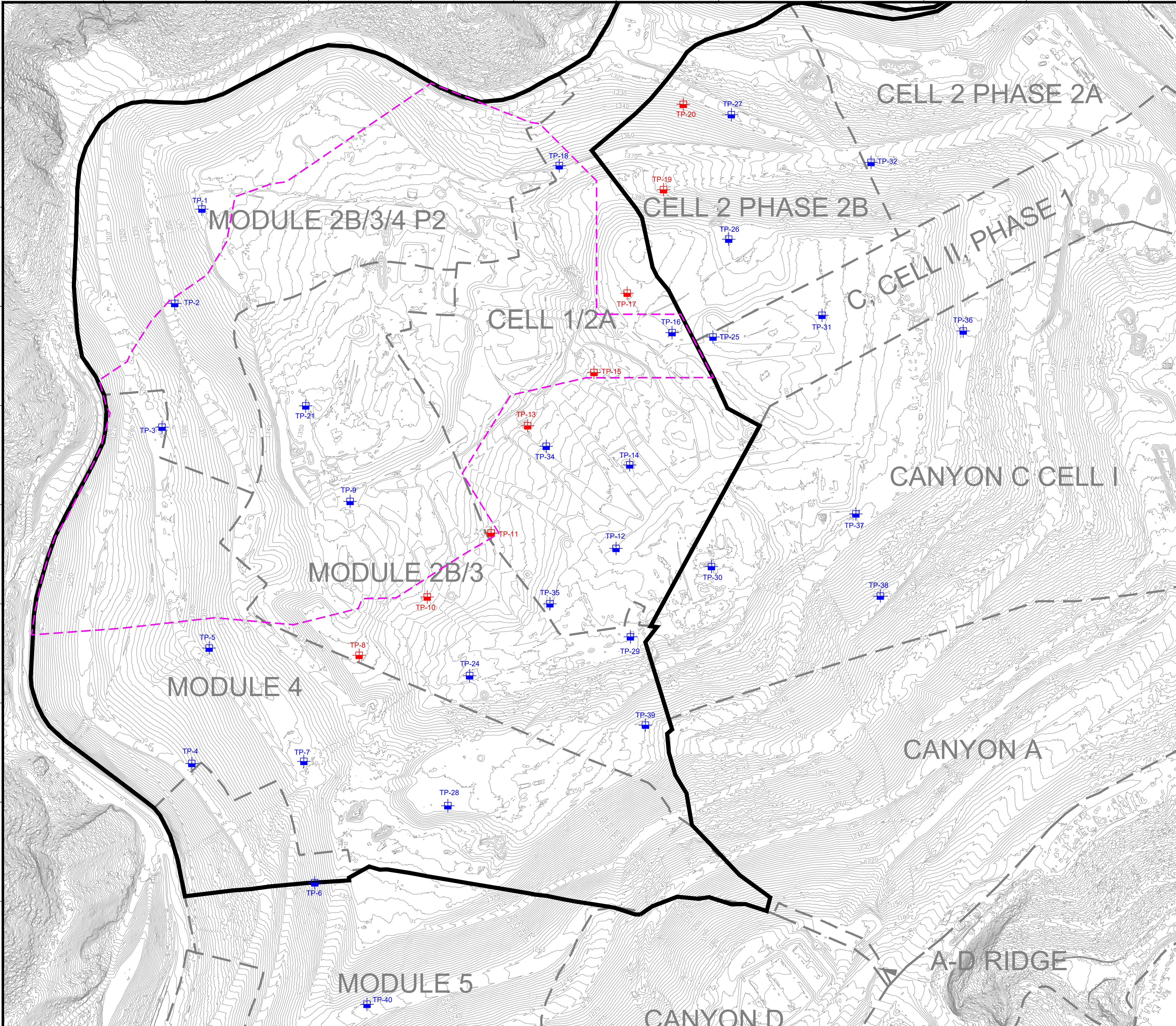


Maximum Vertical Temperature Map from Temperature Probes at Chiquita Landfill



1 2 3 4 5 6 7 8 9 10 11 12 13 14 15

A
B
C
D
E
F
G
H
I
J



LEGEND

	EXISTING TOPOGRAPHIC CONTOUR
	EXISTING CELL LIMITS (APPROXIMATE)
	INSTALLED TEMPERATURE PROBES - STANDALONE
	INSTALLED TEMPERATURE PROBES - INSTALLED WITHIN WELL CASING
	REACTION AREA BOUNDARY (APPROXIMATE) - BASED ON DATA REVIEW
	REACTION AREA BOUNDARY - CONDITION 9A

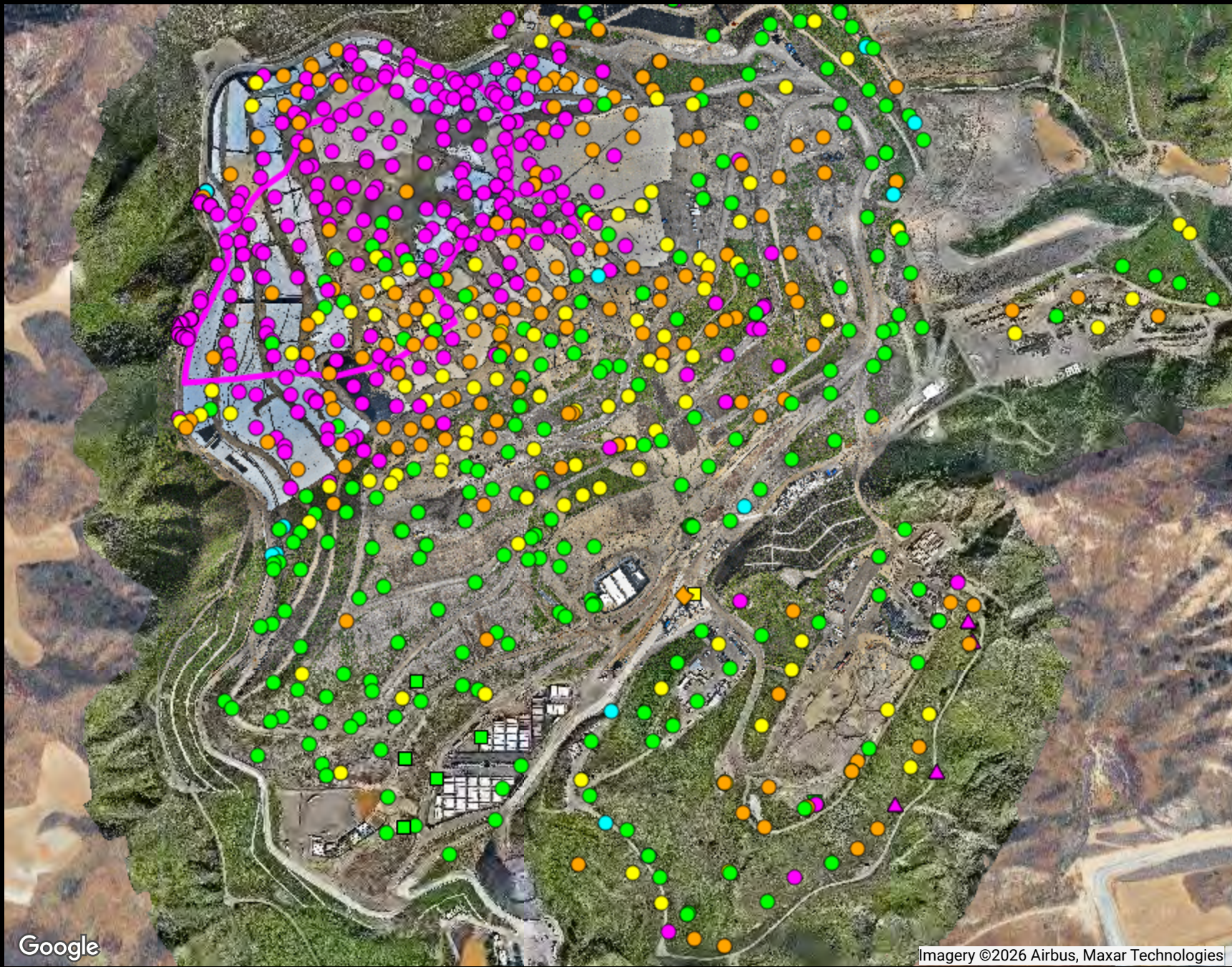
NO.	REVISION	DATE

SHEET TITLE: EXISTING TEMPERATURE PROBE MAP
 PROJECT TITLE: CHIQUITA CANYON LANDFILL
 CASTAIC, CALIFORNIA



DATE: 02/10/2026
 SCALE: AS SHOWN
 SHEET: 1

- GENERAL DRAWING NOTES:**
- EXISTING TOPOGRAPHIC SURVEY INFORMATION SHOWN WAS PROVIDED BY PROPELLER. AERIAL PHOTOGRAPHY DATED JANUARY 28, 2026.
 - NORTH ARROW SHOWN HERE IS REFERENCE TO THE CALIFORNIA STATE PLANE ZONE V COORDINATE SYSTEM, NAD 83.



Ranges Mapped

	# Points
● >= 0 and < 0.5	328
● >= 0.5 and < 0.9	169
● >= 0.9 and < 1.1	107
● >= 1.1 and < 1.5	244
● >= 1.5 and < 101	14

Point Type Legend

- ▽ calibration record
- ◇ flare-engine-ghg
- △ monitoring probe
- sample port
- well

Google

Imagery ©2026 Airbus, Maxar Technologies

ATTACHMENT D

Chiquita Canyon Landfill

Range Map

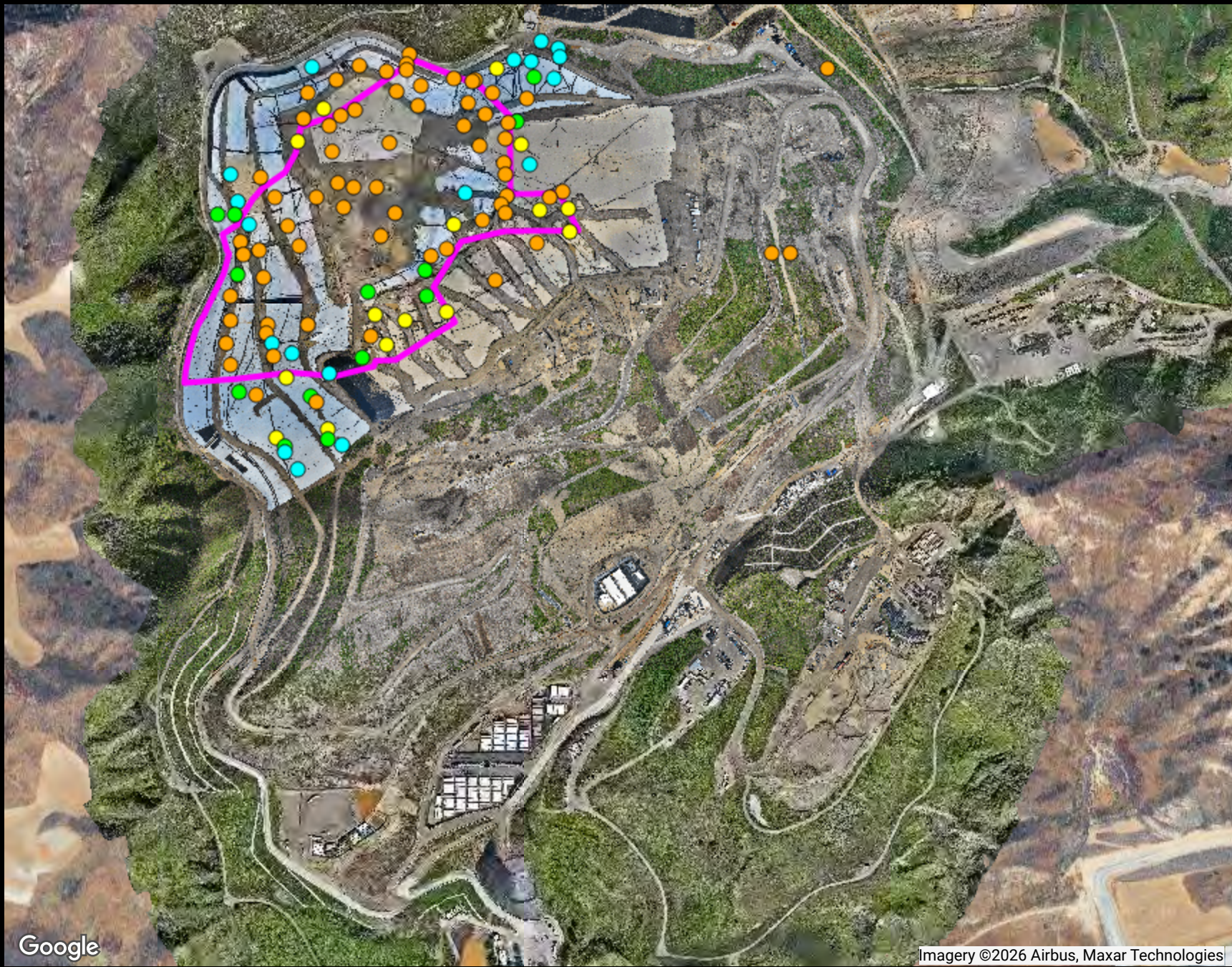
Parameter: CH4/CO2 Ratio (high range)

Analysis Method: MostRecent

Date Range: 04/01/2026 - 04/30/2026

Map generation date : 05/07/2026





Ranges Mapped

			# Points
■	>= 0	and < 20000	21
■	>= 20000	and < 50000	13
■	>= 50000	and < 100000	15
■	>= 100000	and < 999999	68

The range values noted above are in units of parts per million (ppm). Divide by 10,000 to convert these values to units of percent by volume.

Point Type Legend

- ▽ calibration record
- ◇ flare-engine-ghg
- △ monitoring probe
- sample port
- well

Google

Imagery ©2026 Airbus, Maxar Technologies

ATTACHMENT E

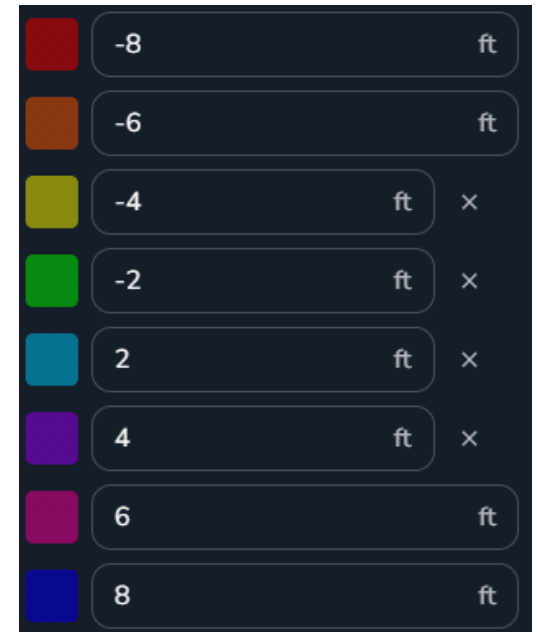
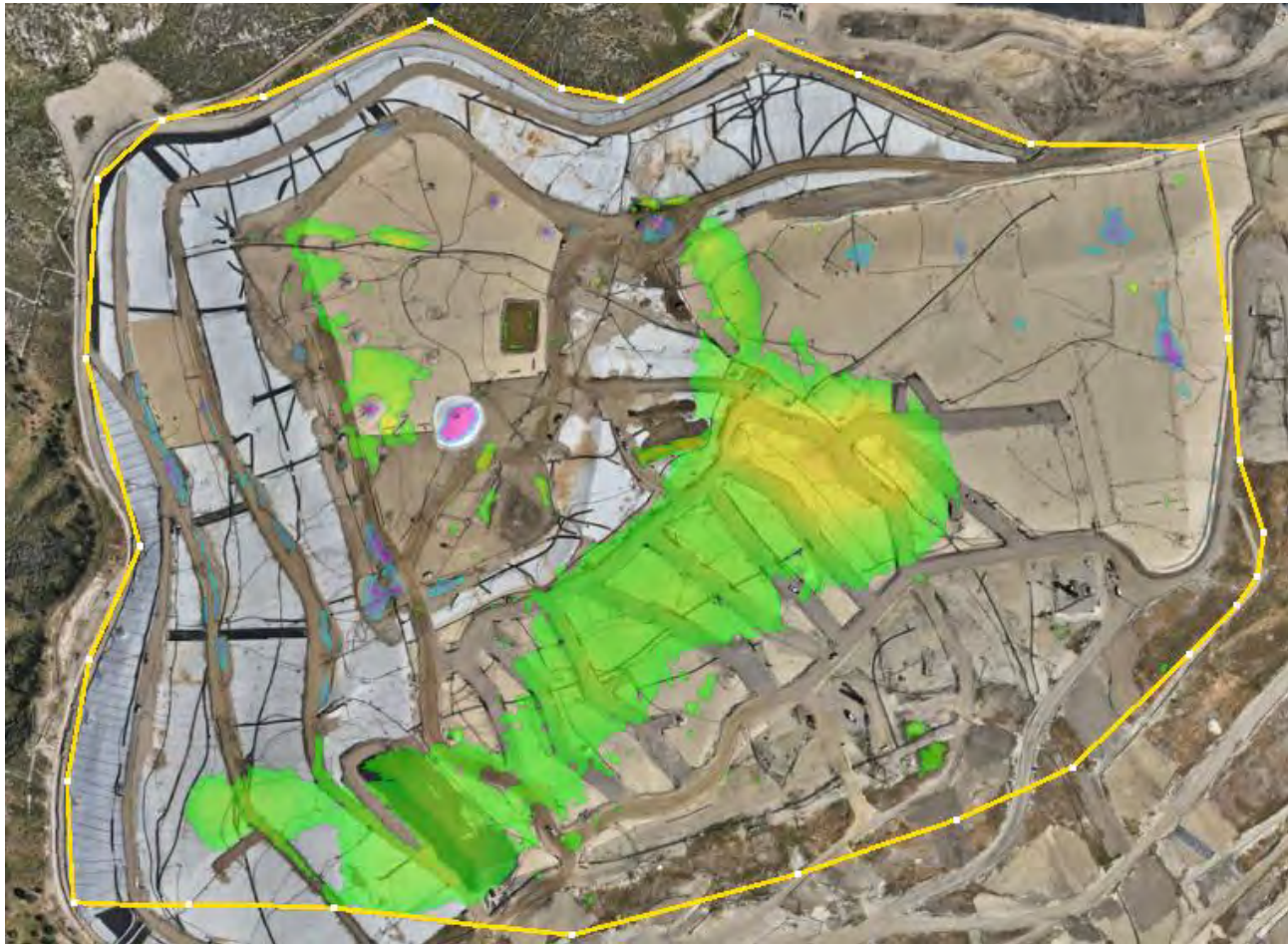
Chiquita Canyon Landfill
Range Map
Parameter: H2 (mid range)
Analysis Method: MostRecent

Date Range: 04/01/2026 - 04/30/2026

Map generation date : 05/07/2026



Chiquita Canyon Landfill – Quarterly Isopach



March 25, 2026 Survey Image. January 07, 2026 vs March 25, 2026